

فصل سوم: جریان های خارجی

۹

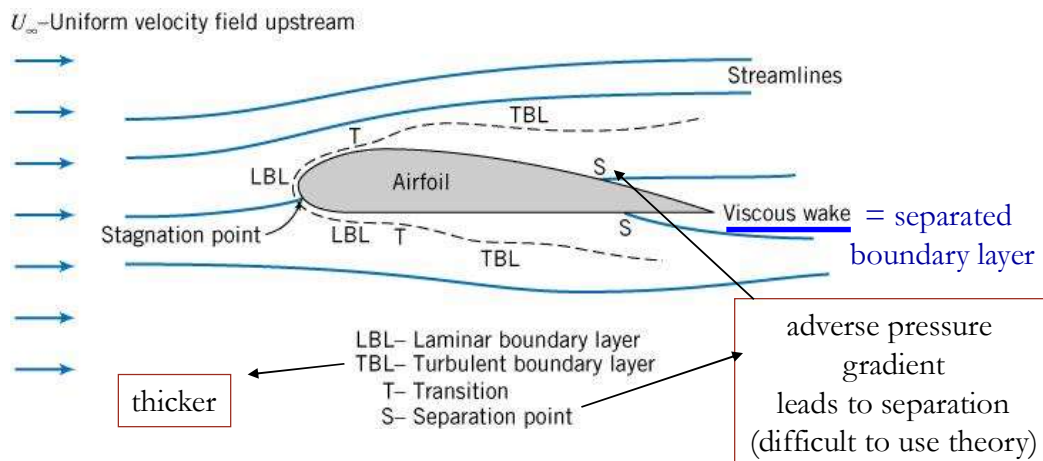
تئوری لایه مرزی



لایه مرزی در جریان خارجی لزج



EXTERNAL INCOMPRESSIBLE VISCOUS FLOWS



- $Re = U_\infty x / v; Re = U_\infty c / v; \dots$
- laminar and turbulent boundary layers
- displaced inviscid outer flow
- adverse pressure gradient and separation

3

Boundary Layer Provides Missing Link Between Theory and Practice



Boundary layer, δ , where viscous stresses (i.e. velocity gradient) are important we'll define as where $u(x,y) = 0$ to $0.99 U_\infty$ above boundary.

4

Ludwig Prandtl

*originator of
boundary layer
theory and advisor to
von Kármán, Blasius,
Nikuradse and others*

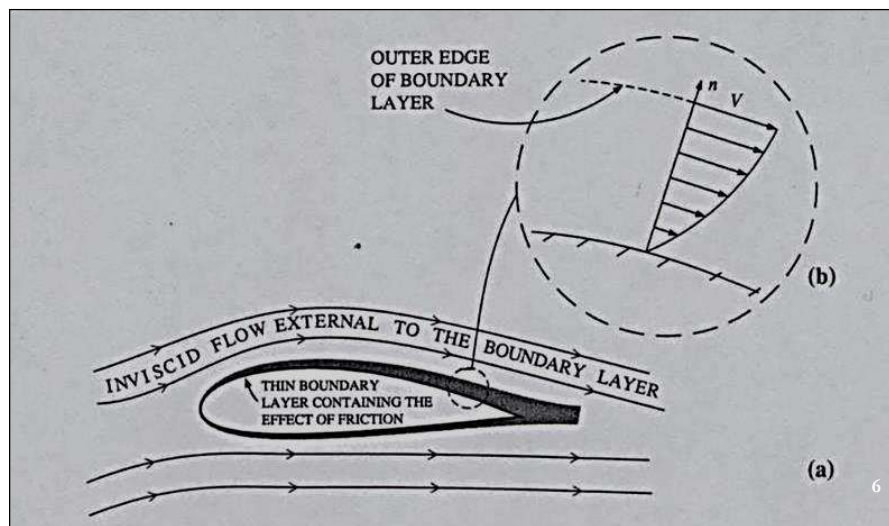


In August of 1904 Ludwig Prandtl, a 29-year old professor presented a remarkable paper at the 3rd International Mathematical Congress in Heidelberg. Although initially largely ignored, by the 1920s and 1930s the powerful ideas of that paper helped create modern fluid dynamics out of ancient hydraulics and 19th-century hydrodynamics.

(only 8 pages long, but arguably one of the most important fluid-dynamics papers ever written)

5

- Prandtl assumed no slip condition
- Prandtl assumed thin boundary layer region where shear forces are important because of large velocity gradient
- Prandtl assumed inviscid external flow
- Prandtl assumed boundary so thin that within it $\partial p / \partial y \approx 0$;
- Prandtl outer flow drives boundary layer
- Boundary layer can greatly effect outer “inviscid” flow if separates



6

BOUNDARY LAYER HISTORY

- 1904 Prandtl
Fluid Motion with Very Small Friction
2-D boundary layer equations
- 1908 Blasius
The Boundary Layers in Fluids with Little Friction
Solution for laminar, 0-pressure gradient flow
- 1921 von Karman
Integral form of boundary layer equations
- 1924 Sir Horace Lamb
Hydrodynamics ~ one paragraph on boundary layers
- 1932 Sir Horace Lamb
Hydrodynamics ~ entire section on boundary layers



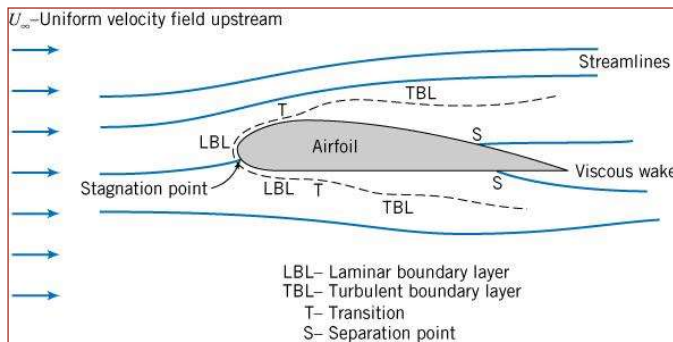
Theodore Von Karman

7

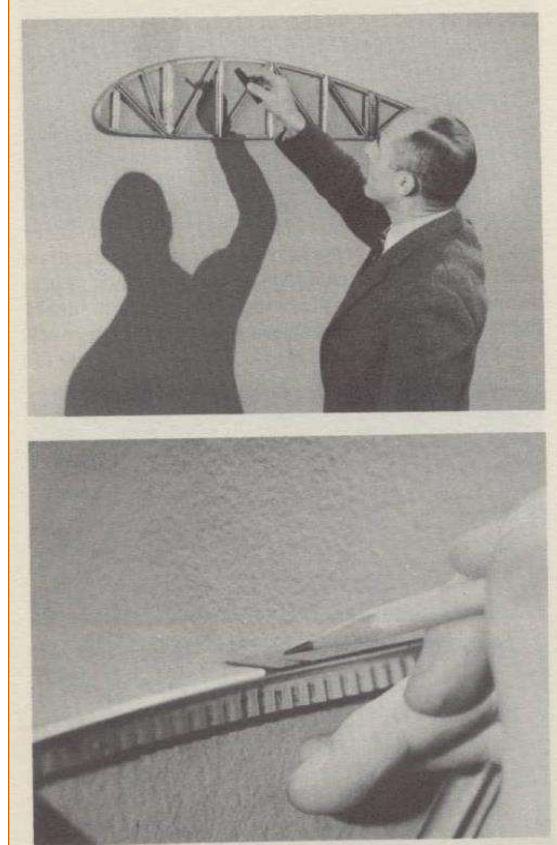
	INTERNAL	EXTERNAL
FULLY DEVELOPED?	CAN BE	NEVER
WAKE?	NEVER	USUALLY - PLATE IS EXCEPTION
THEORY LAMINAR	PIPES, DUCTS,..	FLAT PLATE & ZERO PRESSURE GRADIENT
GROWING BOUNDARY LAYER?	NOT WHEN FULLY DEVELOPED	ALWAYS
ADVERSE PRESSURE GRADIENT	PIPE/DUCT=N0 DIFFUSER=YES	PLATE=MAYBE BODIES=USUALLY
TURBULENT EXPERIMENT	PIPE (EXAMPLE) $u(r)/U_{c/l} = (y/R)^{1/n}$	PLATE (EXAMPLE) $u(y)/U_o = (y/\delta)^{1/n}$

8

Note – throughout figures the boundary layer thickness*, δ , is greatly exaggerated!
 (disturbance layer*)

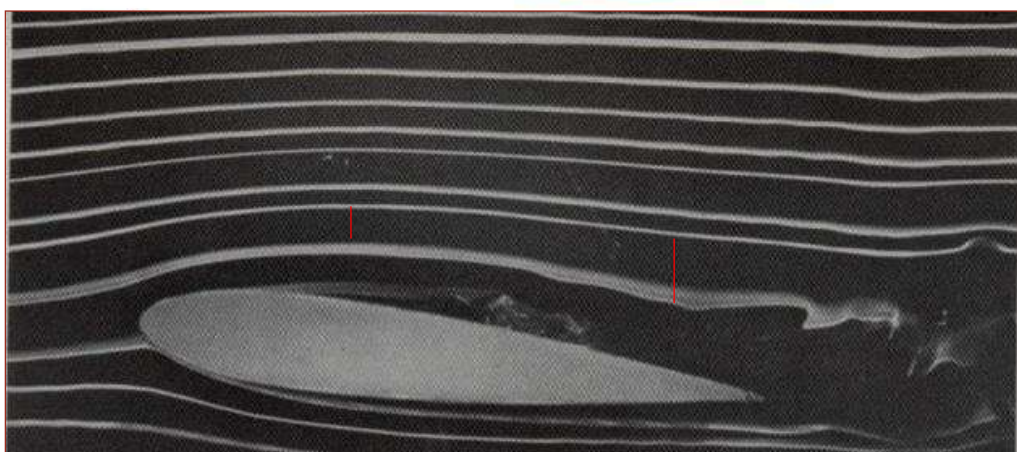
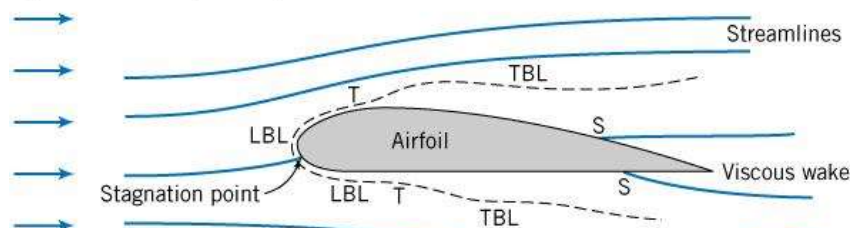


Airline industry had to develop flat face rivets.



9

U_∞ -Uniform velocity field upstream



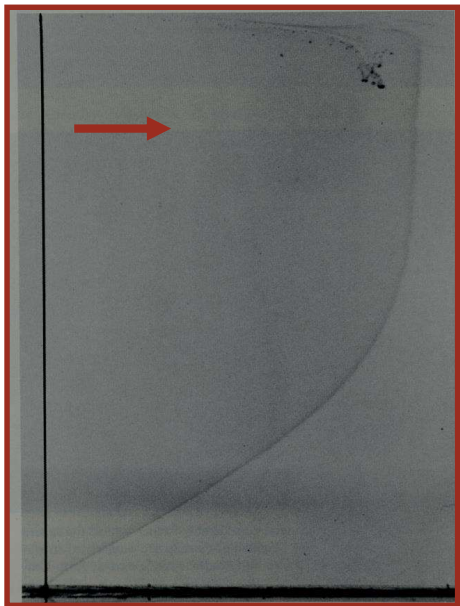
$Re = 20,000$

Angle of attack = 6°

Symmetric Airfoil

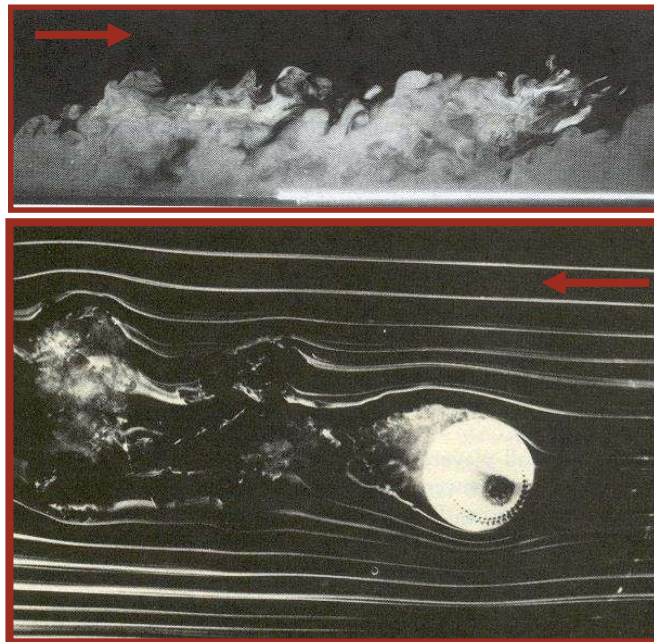
16% thick

10



Flat Plate (no pressure gradient)

- ~ what is velocity profile?
- ~ wall shear stress/drag?
- ~ displacement of free stream?
- ~ laminar vs turbulent flow?



Immersed Bodies

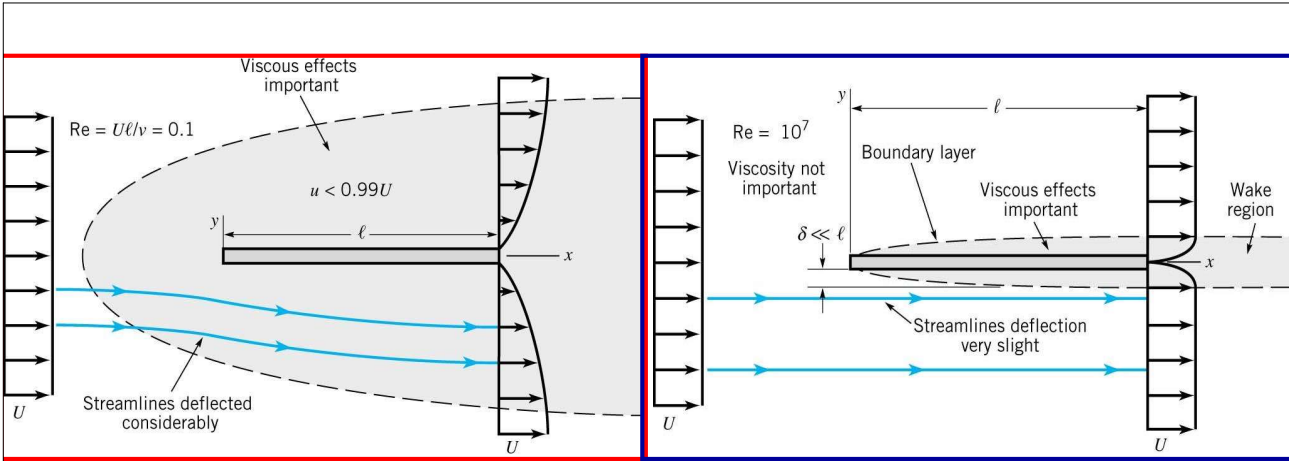
- ~ wall shear stress/drag?
- ~ lift?
- ~ minimize wake

11

FLAT PLATE – ZERO PRESSURE GRADIENT

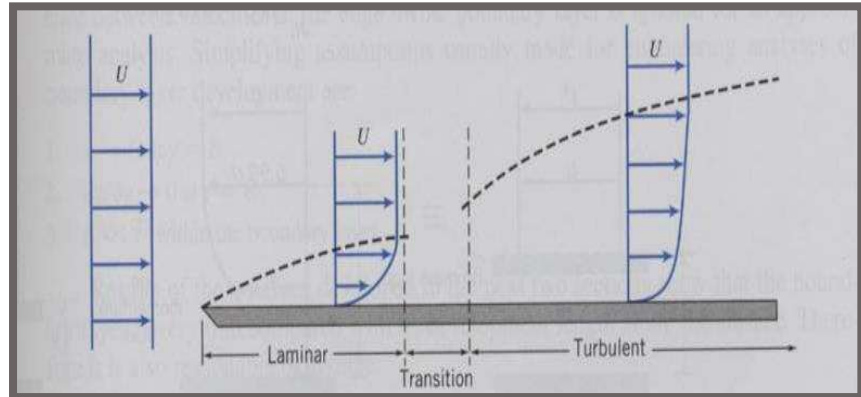


12

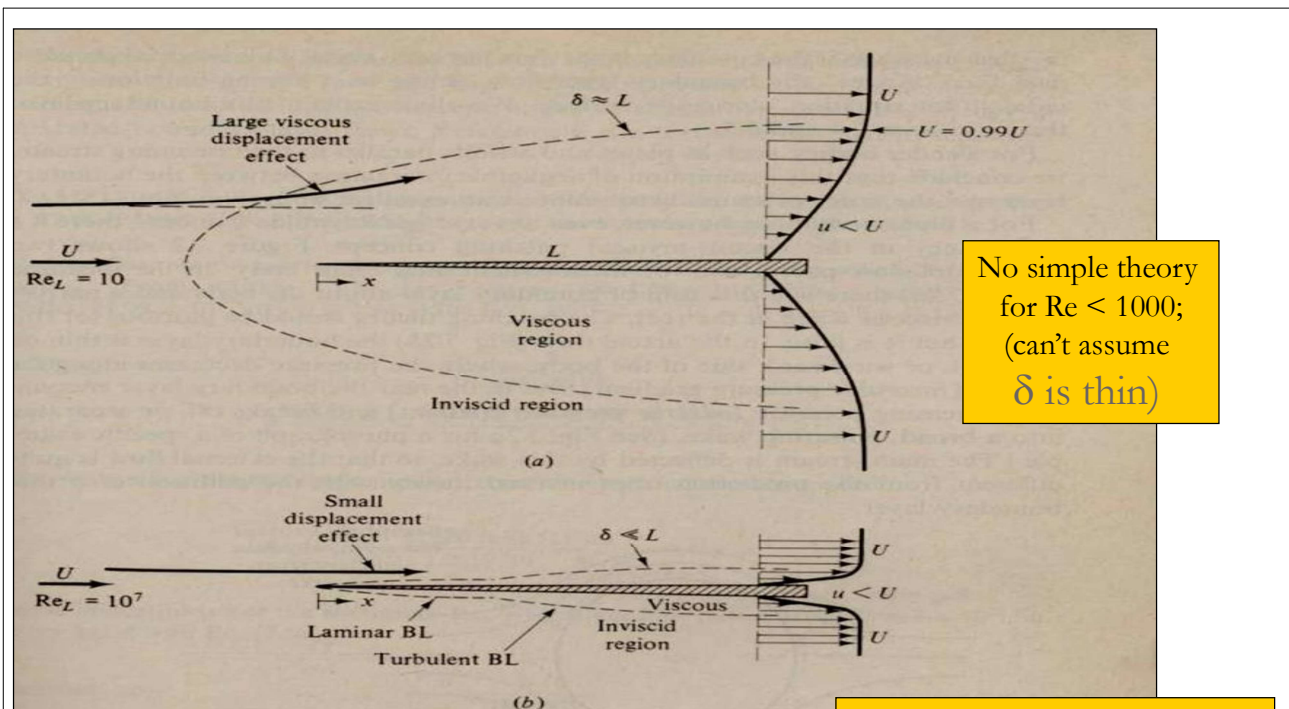


Laminar Flow
 $\delta/x \sim 5.0/Re_x^{1/2}$
THEORY

Turbulent Flow
 Re_x transition $> 500,000$
 $u(y)/U_\infty = (y/\delta)^{1/7}$
 $\delta/x \sim 0.382/Re_x^{1/5}$
EXPERIMENTAL



13



Re_x	10^4	10^5	10^6	10^7	10^8
$(\delta/x)_{\text{lam}}$	0.050	0.016	0.005		
$(\delta/x)_{\text{turb}}$			0.022	0.016	0.011

"At these Re_x numbers boundary layers so thin that displacement effect on outer inviscid layer is small"

14

FLAT PLATE – ZERO PRESSURE GRADIENT

outside $\delta(x)$, U is constant so P is constant

$u(x,y)$ is not constant, $\delta(x)$ is thin so
assume P inside $\delta(x)$ is impressed from the outside

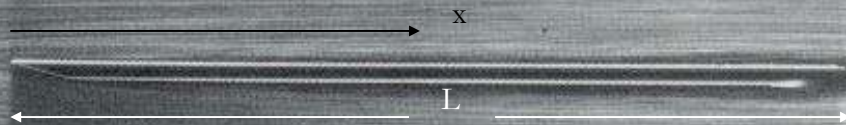
$Re_L = 10,000$ Visualization is by air bubbles see that boundary layer, δ ,
is thin and that outer free stream is displaced, δ^* , very little.

15

FLAT PLATE – ZERO PRESSURE GRADIENT

$$Re_x = U_\infty x / v$$

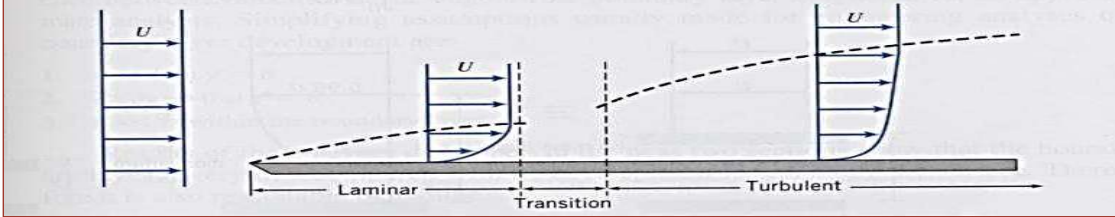
Assume $Re_{x\text{transition}} \sim 500,000$



$$Re_L = U_\infty x / v$$

$Re_L = 10,000$ Visualization is by air bubbles see that boundary⁺ layer, δ ,
is thin and that outer free stream is displaced, δ^* , very little.

16



SIMPLIFYING ASSUMPTIONS OFTEN MADE FOR ENGINEERING ANALYSIS OF BOUNDARY LAYER FLOWS

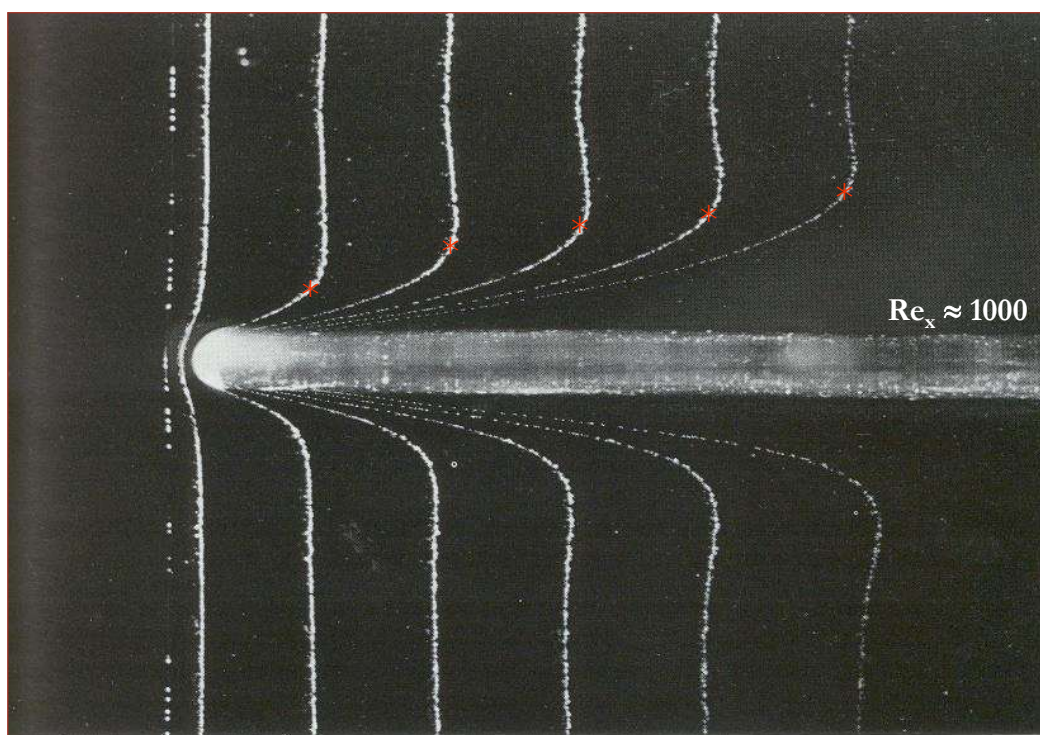
1. $u \rightarrow U$ at $y = \delta$
2. $\partial u / \partial y \rightarrow 0$ at $y = \delta$
3. $v \ll U$ within the boundary layer

Results of the analyses developed in the next two sections show that the boundary layer is very thin compared with its development length along the surface. Therefore it is also reasonable to assume:

4. Pressure variation across the thin boundary layer is negligible. The freestream pressure distribution is *impressed* on the boundary layer.

17

Development of laminar boundary layer
(0.01% salt water, free stream velocity 0.6 cm/s, thickness
of the plate 0.5 mm, hydrogen bubble method).



18

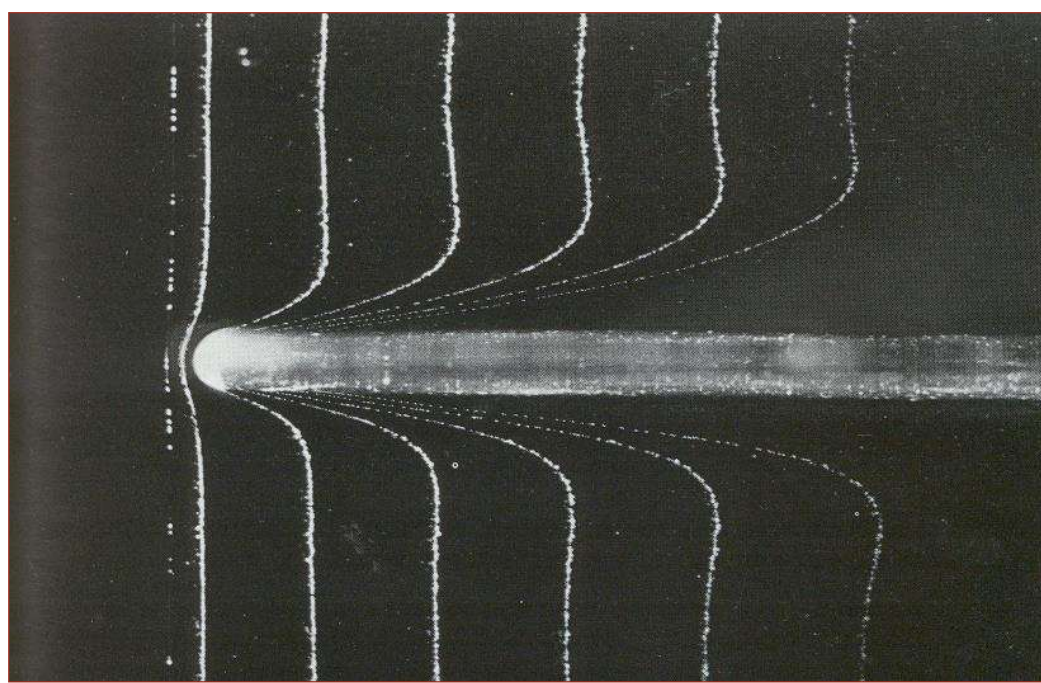
FLAT PLATE – ZERO PRESSURE GRADIENT: $\delta(x)$



BOUNDARY OR DISTURBANCE LAYER

19

$$\delta(x) \quad \delta^* \quad \theta$$



BOUNDARY OR DISTURBANCE LAYER

20

Boundary⁺ Layer Thickness $\delta(x)$

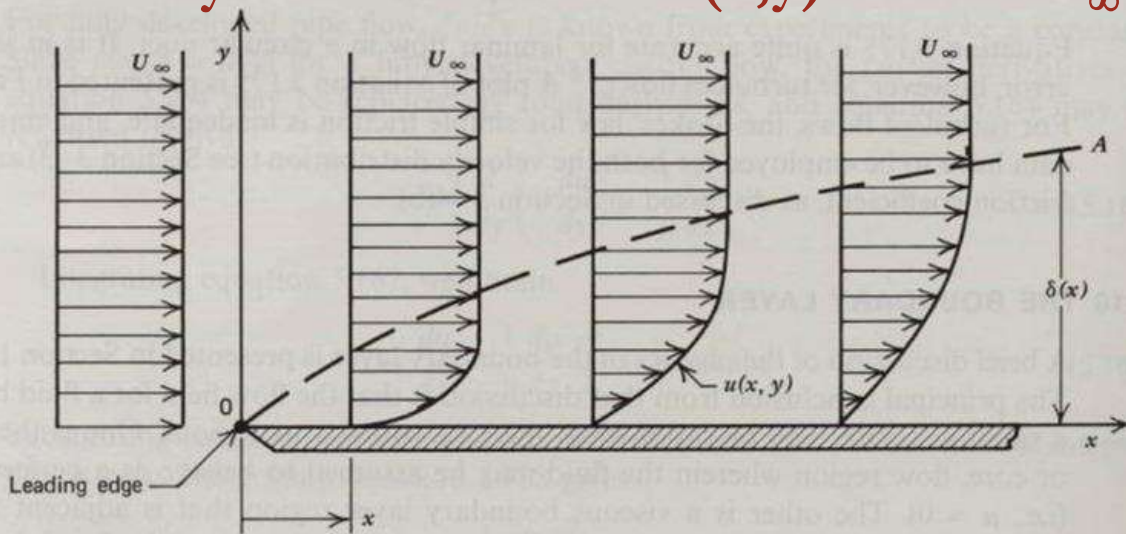
Definition:

$u(x, \delta) = 0.99$ of $U = U_\infty = U_e$
(within 1 % of U_∞)

⁺Disturbance

21

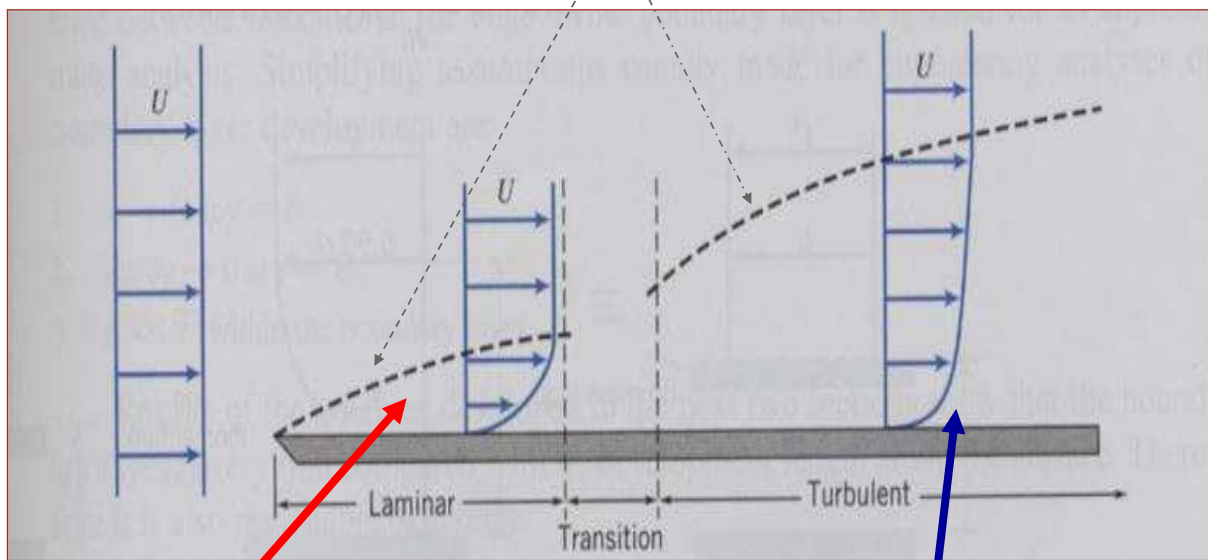
δ is at y location where $u(x, y) = 0.99 U_\infty$



Because the change in u in the boundary layer takes place asymptotically, there is some indefiniteness in determining δ exactly.

22

NOTE: boundary layer is
much thicker in turbulent flow.



Blasius showed theoretically for laminar flow that

$$\frac{\delta}{x} = \frac{5}{(Re_x)^{1/2}} \quad (Re_x = \rho U_\infty x / \mu)$$

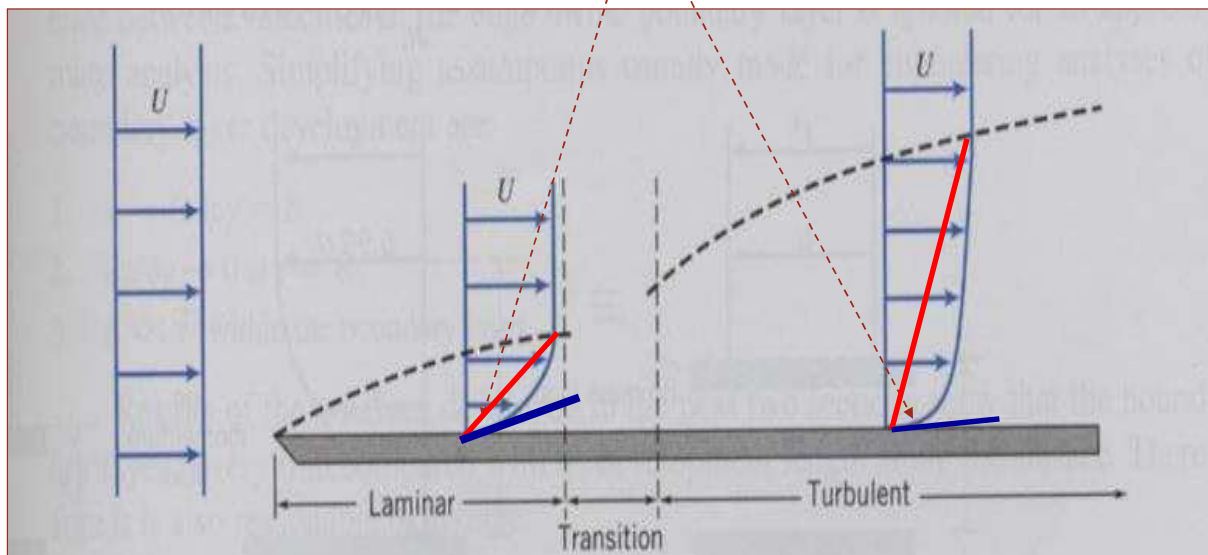
$$\delta \propto x^{1/2}$$

Experimentally found* for turbulent flow that

$$\delta \propto x^{4/5}$$

23

NOTE: velocity gradient at wall
($\tau_w = \mu du/dy$) is significantly greater.



At same x : $U/\delta_L > U/\delta_T$

At same x : $\tau_{wL} < \tau_{wT}$

24

Note, boundary layer is **not** a streamline!

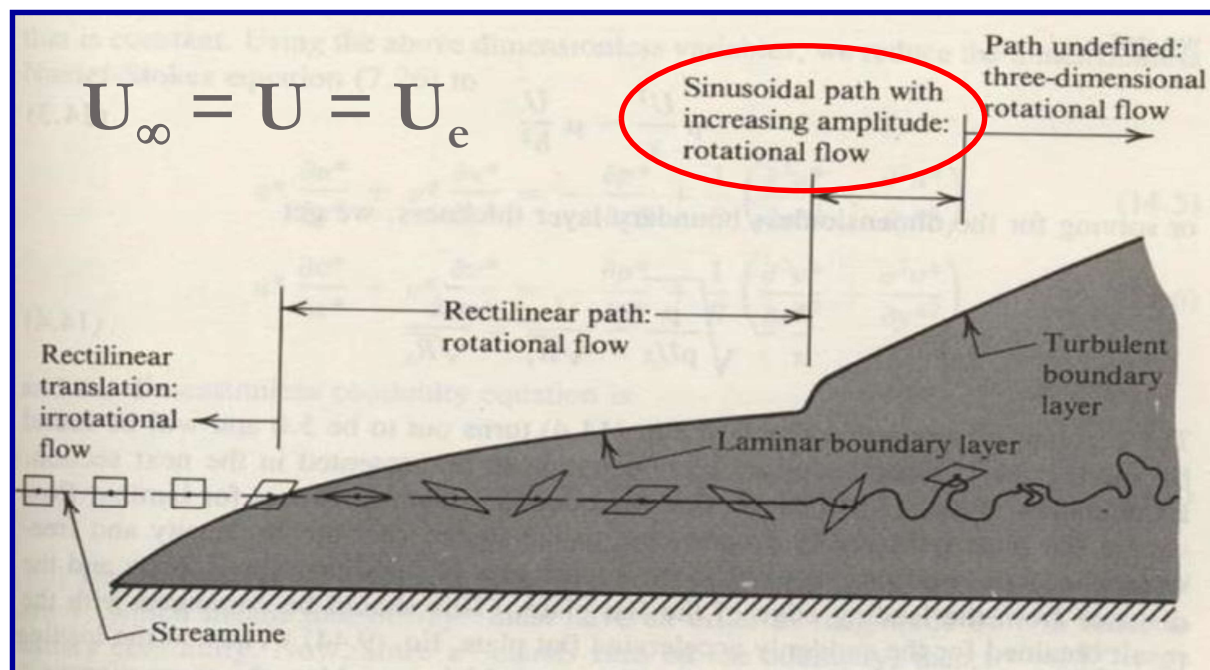
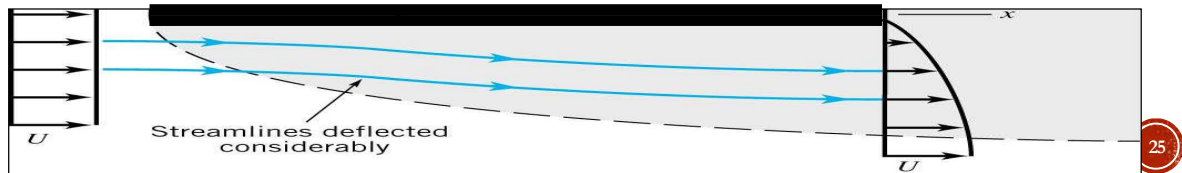
From theory (Blasius 1908, student of Prandtl):

$$\delta = 5x / (\text{Re}_x^{1/2}) = 5x / (U / [\nu x])^{1/2} = 5\nu^{1/2} x^{1/2} / U^{1/2}$$

$$d\delta/dx = 5 (\nu/U)^{1/2} (1/2) x^{-1/2} = 2.5 / (\text{Re}_x)^{1/2}$$

$$V/U = dy/dx \Big|_{\text{streamline}} = 0.84 / (\text{Re}_x^{1/2})$$

$dy/dx \Big|_{\text{streamline}} \neq d\delta/dx$ so δ **not** streamline



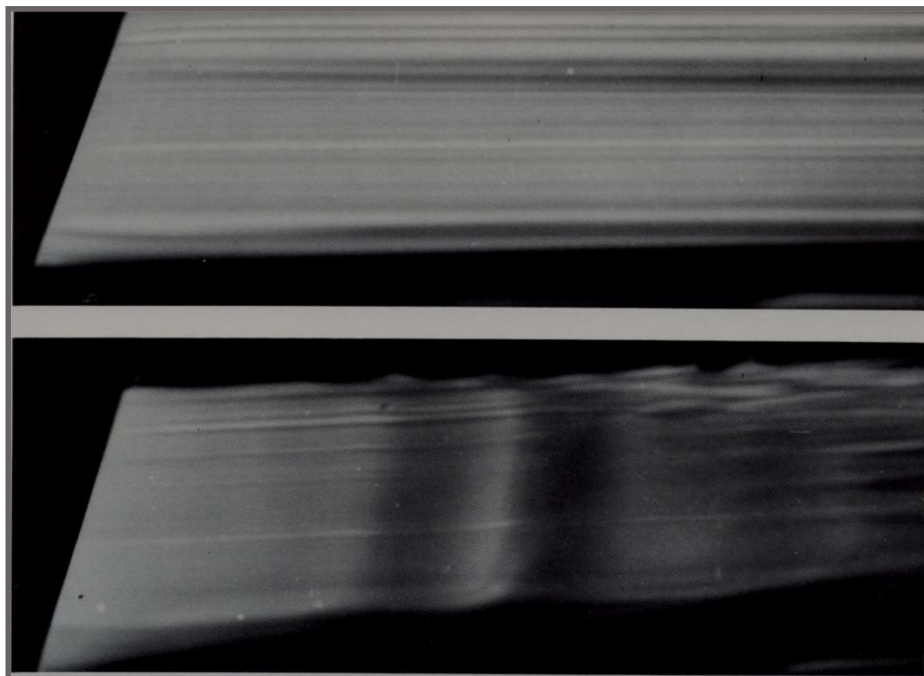
Behavior of a fluid particle traveling along a streamline **through** a boundary layer along a flat plate.

LAMINAR TO TURBULENT TRANSITION



27

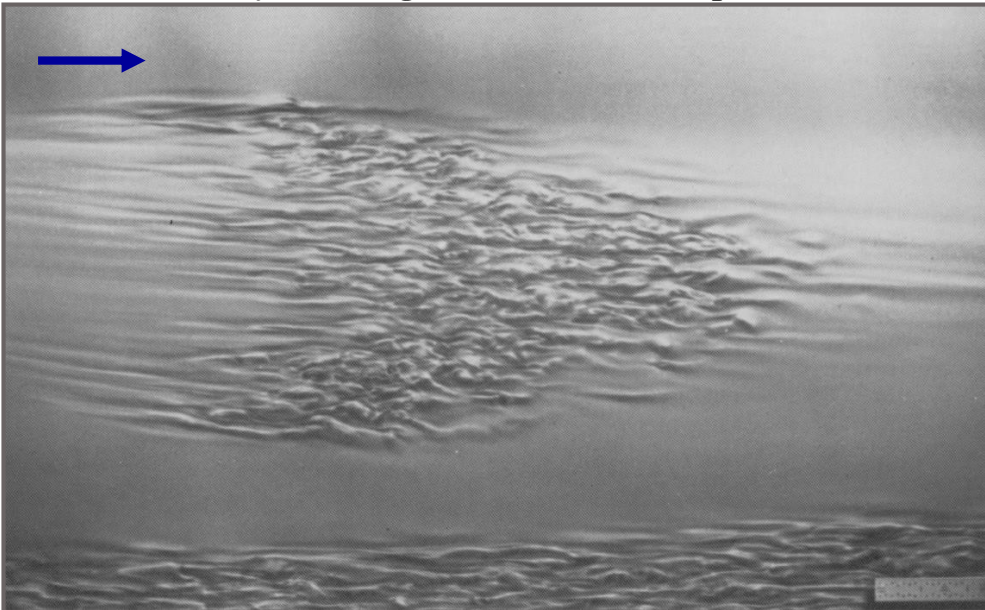
LAMINAR TO TURBULENT TRANSITION



104. Instability of the boundary layer on a plate. At $R=20,000$ based on length (upper photograph) the boundary layer is laminar over a flat plate aligned with the stream. At $R=100,000$ (lower photograph) two-dimensional Tollmien-Schlichting waves appear. They are made visible by colored fluid in water. ONERA photographs, Werlé 1980

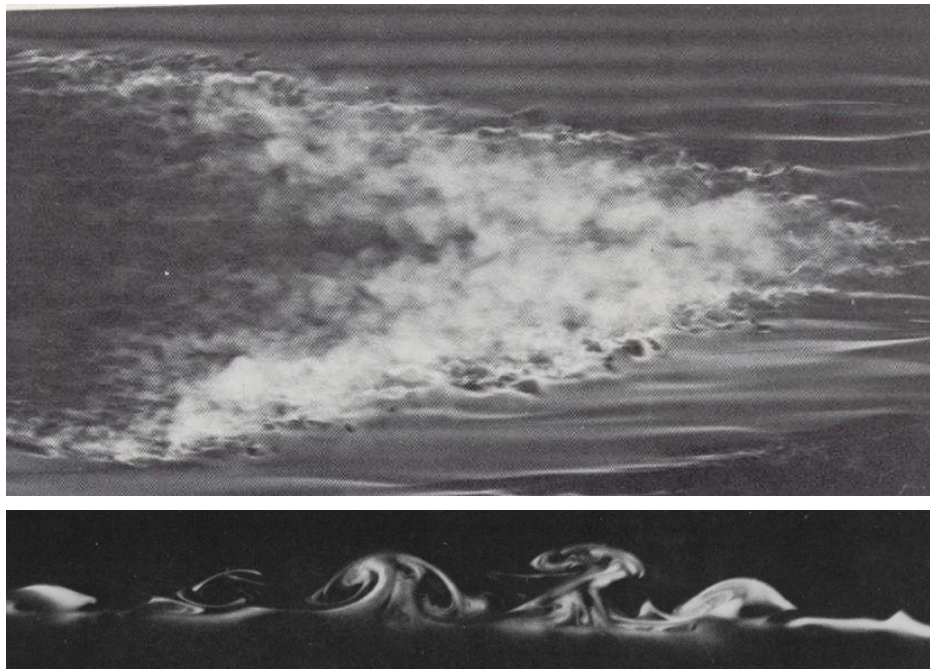
28

NOTE: Turbulence is **not** initiated at Re_{tr} all along the width of the plate



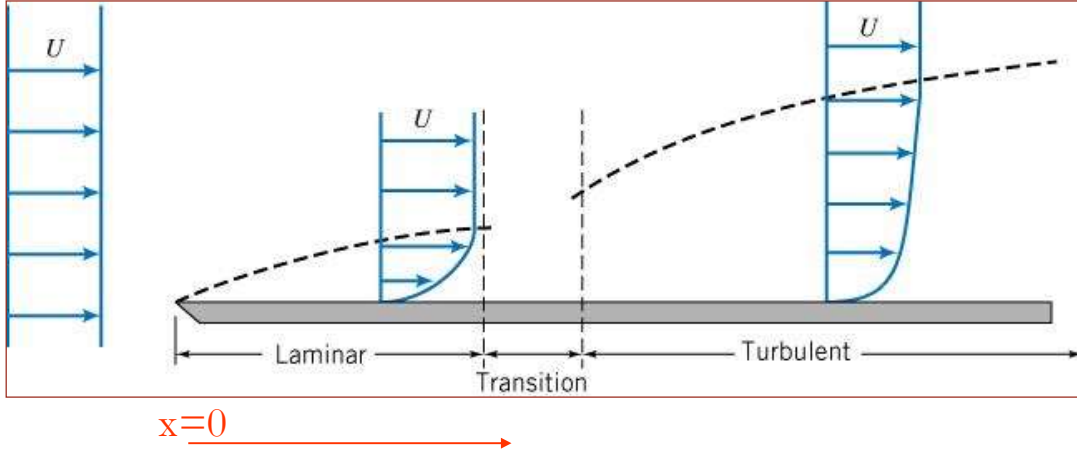
Emmons spot $\sim Re_x = 200,000$
Spots grow approximately linearly downstream at downstream speed that is a fraction of the free stream velocity.

29



Emmons spot, $Re_x = 400,000$
smoke in wind tunnel

30



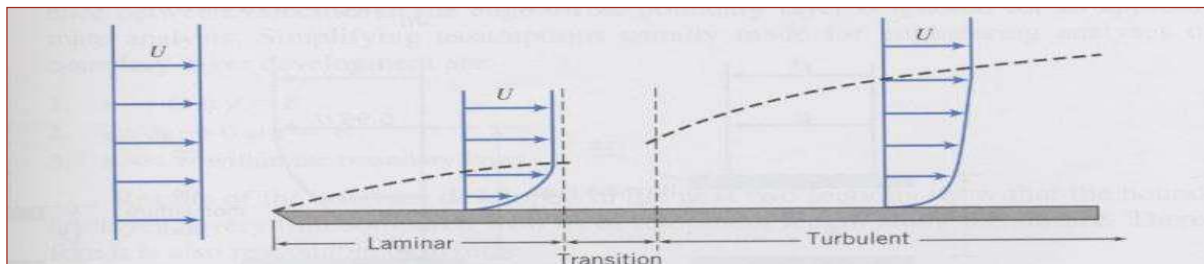
Turbulent boundary layer is thicker and grows faster.

Transition **not fixed** but usually around $Re_x \sim 500,000$
 $(2 \times 10^5 - 3 \times 10^6)$

For air at standard conditions and $U = 30$ m/s, $x_{tr} \sim 0.24$ m

31

Nevertheless: Treat transition as it happens all along $Re_x = 500,000$



Experimentally transition occurs around
 $Re_x \sim 5 \times 10^5$

Water moving around 4 m/s past a ship, transitions after about 0.14 m from the bow, representing only about 0.1 % of total length of 143 m long ship.

32

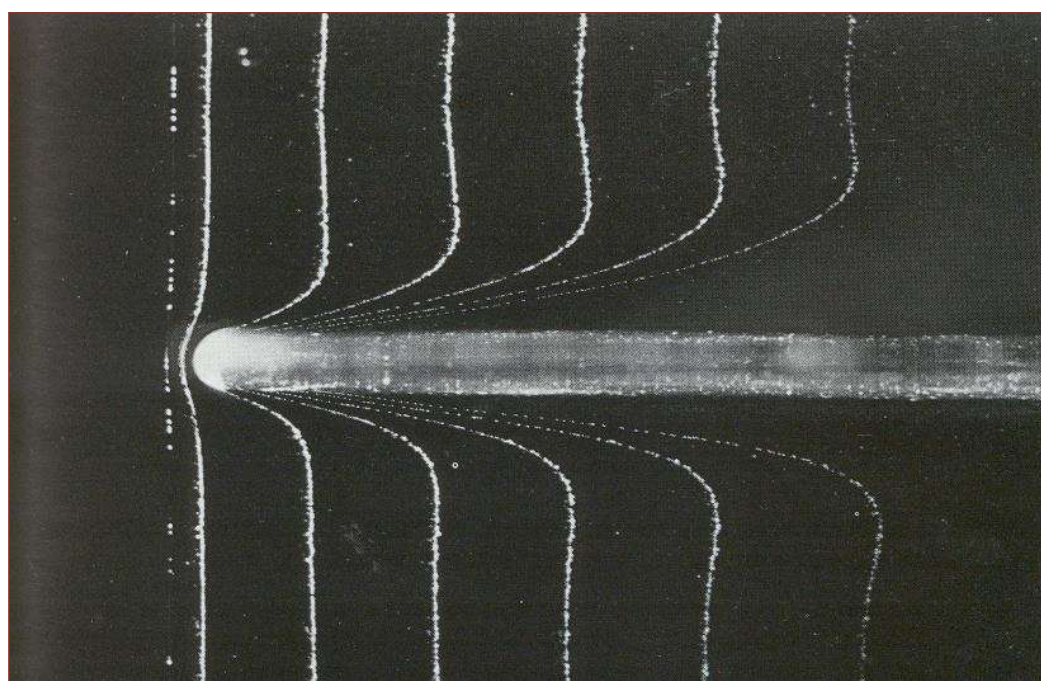
FLAT PLATE – ZERO PRESSURE GRADIENT: $\delta^*(x)$



DISPLACEMENT THICKNESS

33

$$\delta \quad \delta^*(x) \quad \theta$$



DISPLACEMENT THICKNESS

34

Displacement Thickness

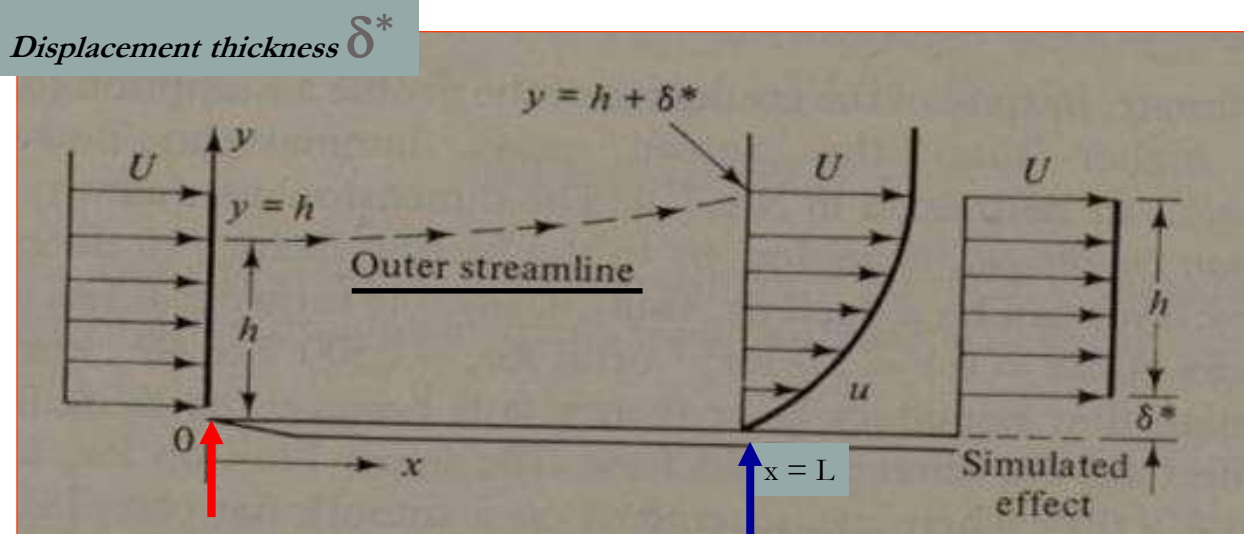
$$\delta^*(x)$$

Definition:

$$\delta^* = \int_0^\infty (1 - u/U) dy$$

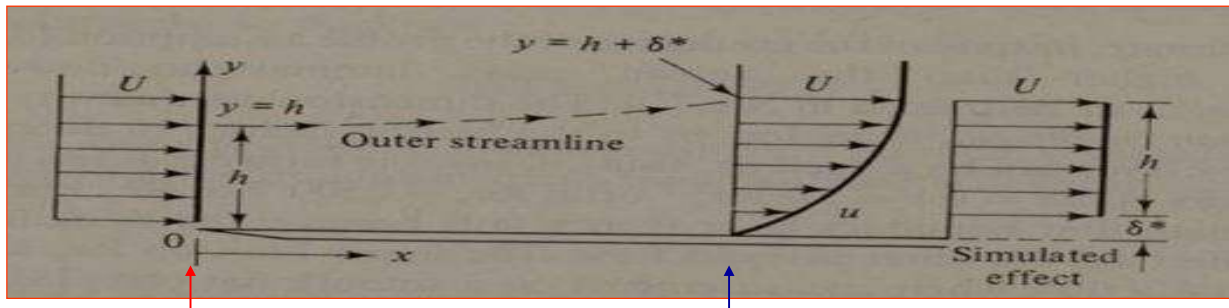
δ^* is displacement of outer streamlines due to boundary layer

35



By definition, no flow passes through streamline, so mass through 0 to h at $x = 0$ is the same as through 0 to $h + \delta^*$ at $x = L$.

36



$$\rho U h = \int_0^{h+\delta^*} \rho u dy = \int_0^{h+\delta^*} \rho (\underline{U} + u - \underline{U}) dy$$

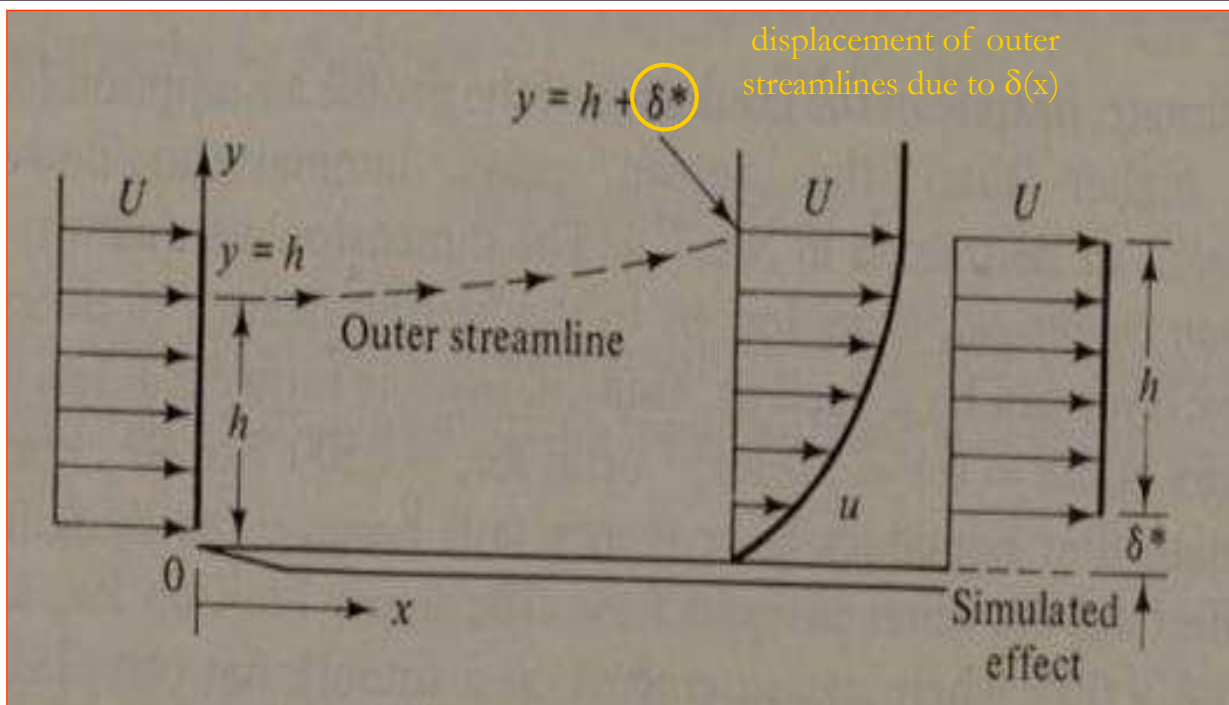
$$Uh = \int_0^{h+\delta^*} U dy + \int_0^{h+\delta^*} (u - U) dy$$

$$\cancel{Uh} = \cancel{U(h + \delta^*)} + \int_0^{h+\delta^*} (u - U) dy$$

$$-U\delta^* = \int_0^{h+\delta^*} (u - U) dy$$

$$\delta^* = \int_0^{h+\delta^*} (-u/U + 1) dy \approx \int_0^{\infty} (1 - u/U) dy$$

37



$$\delta^* \approx \int_0^{\infty} (1 - u/U) dy \approx \int_0^{\delta} (1 - u/U) dy$$

function of x!

38

Displacement Thickness δ^*

Definition: $\delta^* = \int_0^\infty (1 - u/U) dy$

$$\rho U \delta^* w = \int_0^\infty \rho (U - u) dy w \approx \int_0^\delta \rho (U - u) dy w$$

the deficit in mass flux through area δ_w due to the presence of the boundary layer.

=

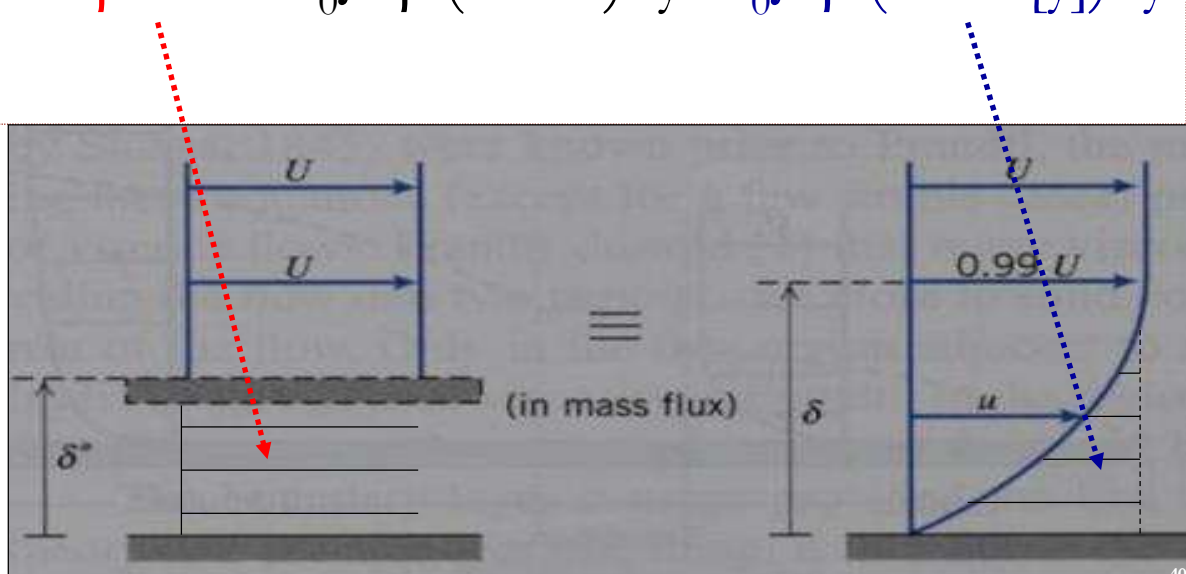
mass flux passing through an area $[\delta^* w]$ in the absence of a boundary layer

39

Displacement Thickness δ^*

Definition: $\delta^* = \int_0^\infty (1 - u/U) dy$

$$\rho U \delta^* = \int_0^\infty \rho (U - u) dy \approx \int_0^\delta \rho (U - u[y]) dy$$



40

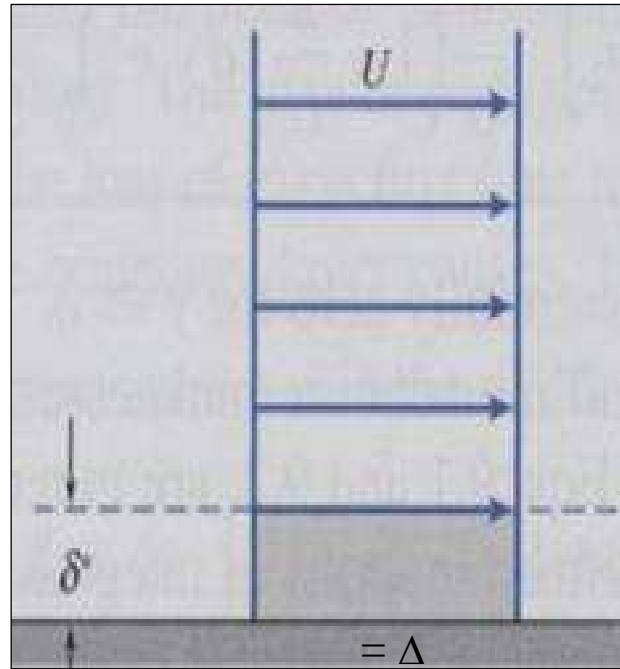
Displacement Thickness, δ^* , Problem

Suppose given velocity profile:

$$u = 0 \text{ from } y = 0 \text{ to } \Delta$$

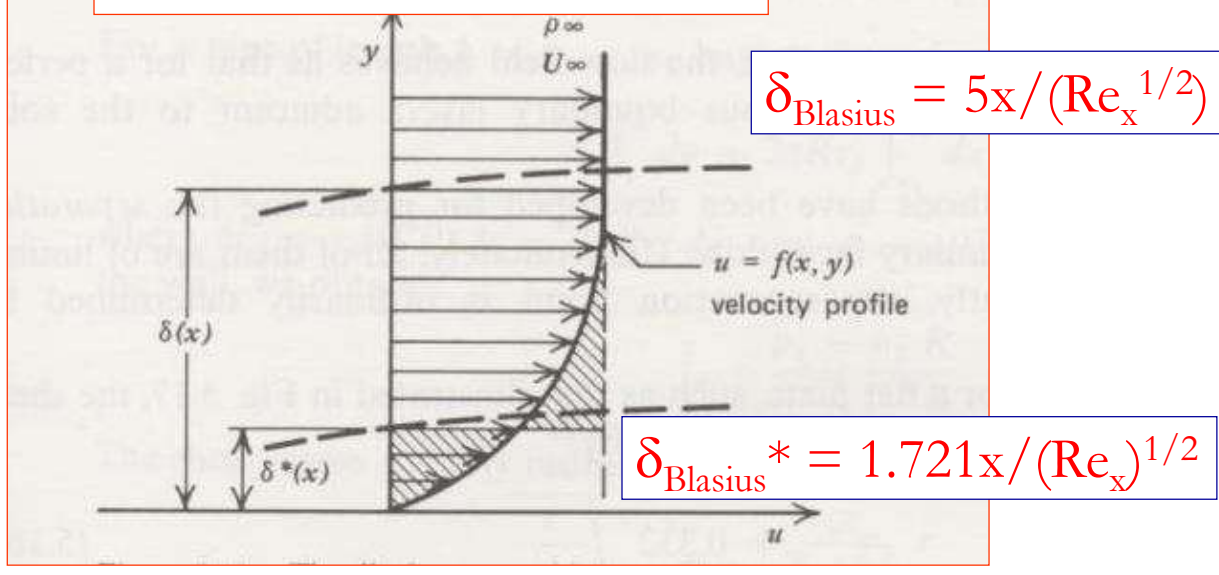
$$u = U_e \text{ for } y > \Delta.$$

Show that $\delta^* = \Delta$



41

Laminar flow on flat plate in uniform free stream



$$\delta^*(x) \sim 1/3 \delta(x)$$

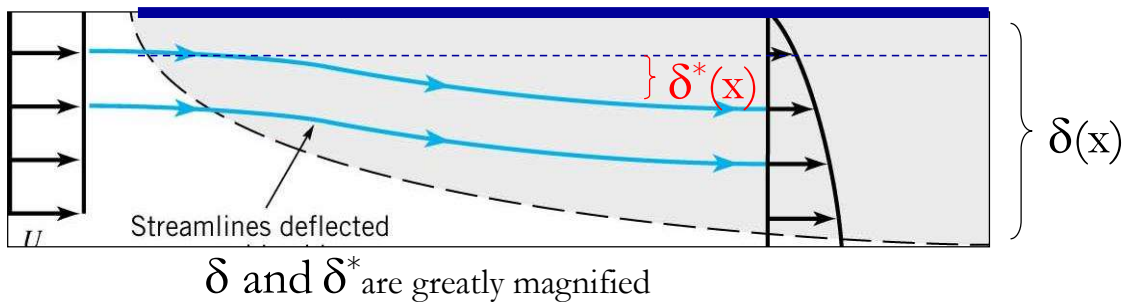
δ^* = Distance that an equivalent inviscid flow is displaced from a solid boundary as a consequence of slow moving fluid in the boundary layer.

42

Displacement Thickness δ^*

Definition: $\delta^* = \int_0^\infty (1 - u/U_e) dy$

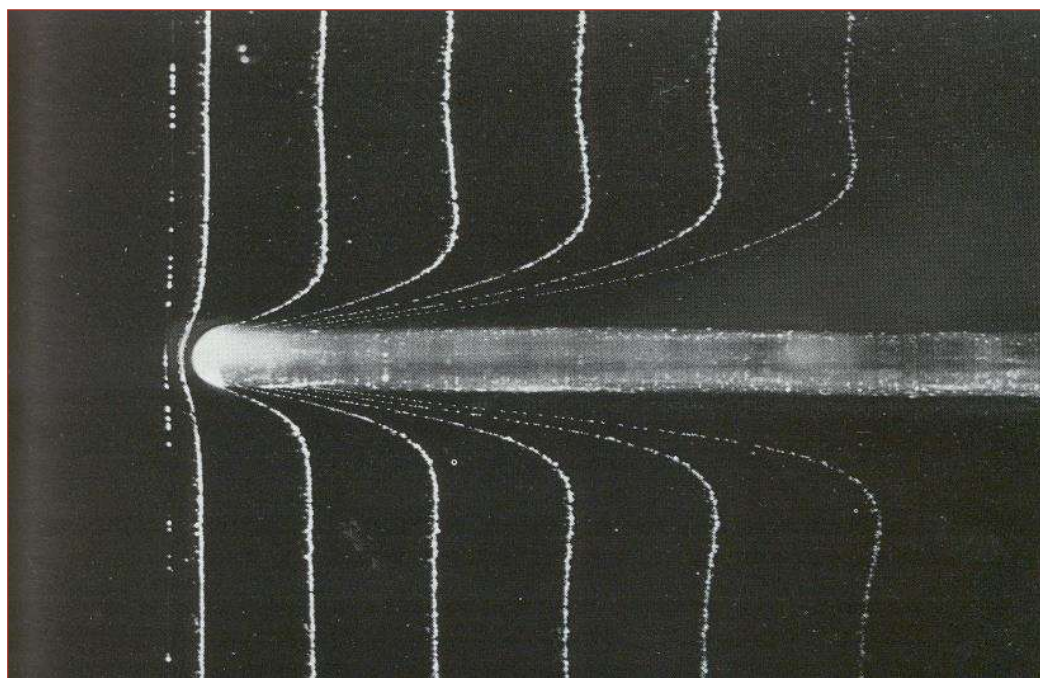
From the point of view of the flow outside the boundary layer, δ^* can be interpreted as the distance that the presence of the boundary layer appears to “displace” the flow outward (hence its name). To the external flow, this streamline displacement also looks like a slight thickening of the body shape.



43

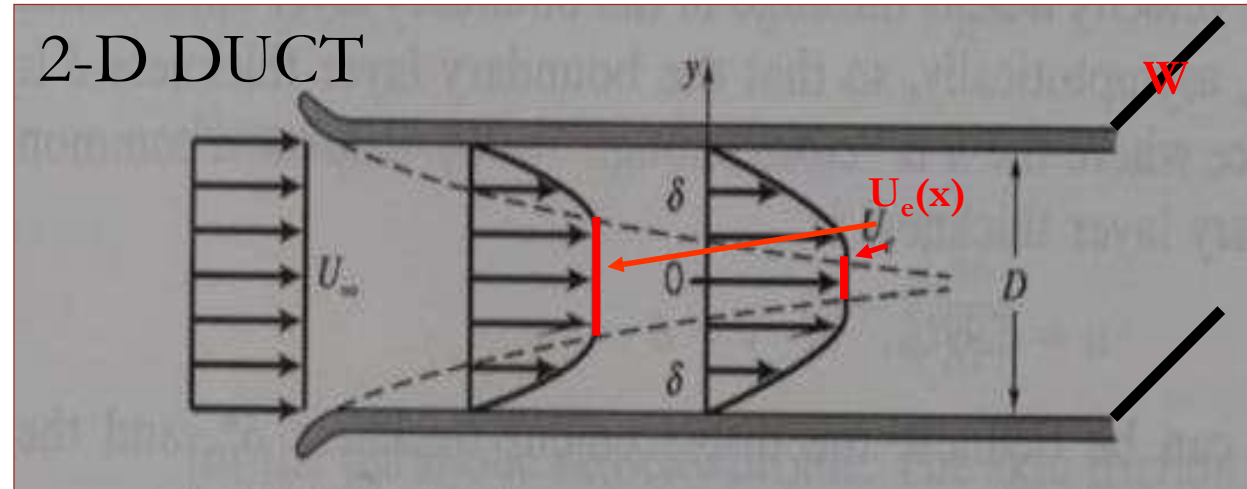
EXAMPLE

$$\delta \quad \delta^*(x) \quad \theta$$



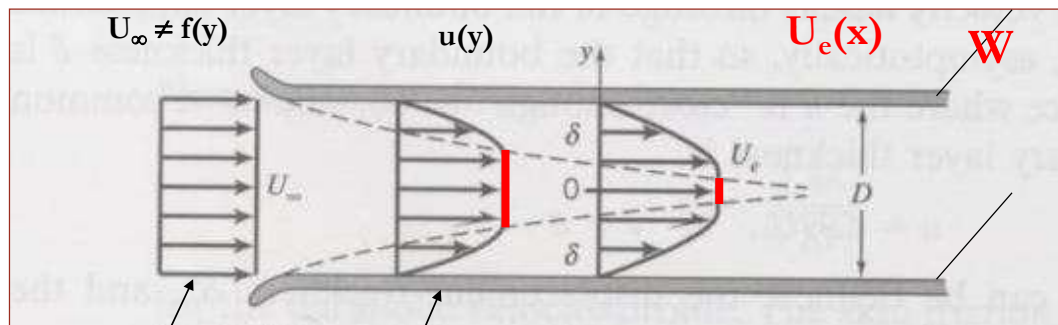
44

PROBLEM: Find U_e as a function of U_∞ , D and δ^*



$$U_e(x) = ?$$

45



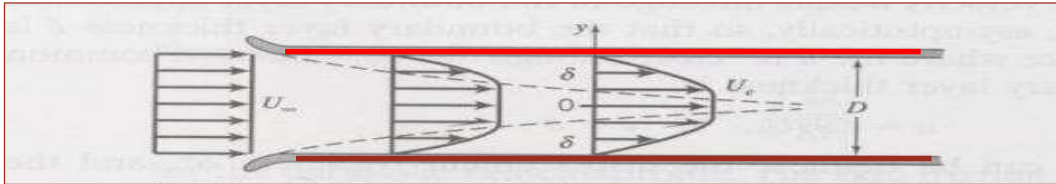
Continuity equation (per W):

$$\rho \{ U_\infty D = \int_{-D/2}^{D/2} u dy + \int_{-D/2}^{D/2} U_e dy - \int_{-D/2}^{D/2} U_e dy \}$$

$$U_\infty D = \int_{-D/2}^{D/2} U_e dy - \left\{ \int_{-D/2}^{D/2} (U_e - u) dy \right\}$$

46

INLET OF DUCT



Continuity equation (per W):

$$U_{\infty}D = \int_{-D/2}^{D/2} U_e dy - \left\{ \int_{-D/2}^{D/2} (U_e - u) dy \right\}$$

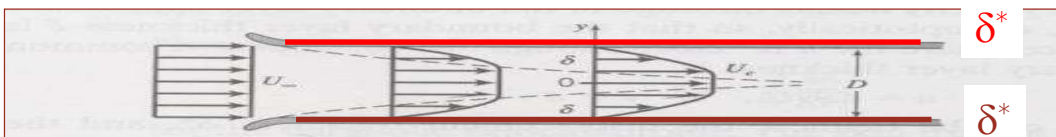
$$U_{\infty}D = \int_{-D/2}^{D/2} U_e dy - \left\{ \int_{(-D/2)}^{(-D/2+\delta)} (U_e - u) dy + \int_{(D/2-\delta)}^{D/2} (U_e - u) dy \right\}$$

(used approximation that outside boundary layer $u = U_e$)

(note that $U_e =$ function of x but not y)

47

INLET OF DUCT



Continuity equation (per W):

$$U_{\infty}D = \int_{-D/2}^{D/2} U_e dy - \left\{ \int_{(-D/2)}^{(-D/2+\delta)} (U_e - u) dy + \int_{(D/2-\delta)}^{D/2} (U_e - u) dy \right\}$$

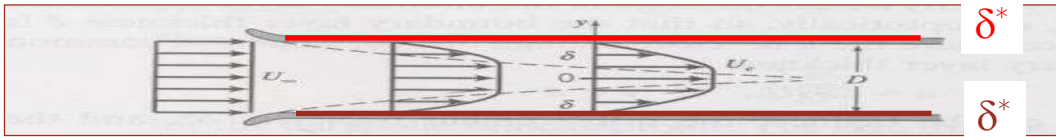
$$U_{\infty}D = \int_{-D/2}^{D/2} U_e dy - U_e \left\{ \int_{(-D/2)}^{(-D/2+\delta)} \left(1 - u/U_e \right) dy \right\} + U_e \left\{ \int_{(D/2-\delta)}^{D/2} \left(1 - u/U_e \right) dy \right\}$$

As we already know:

$$\delta^* = \int_0^{\infty} \left(1 - u/U_e \right) dy \approx \int_0^{\delta} \left(1 - u/U_e \right) dy$$

48

INLET OF DUCT



Continuity equation (per W):

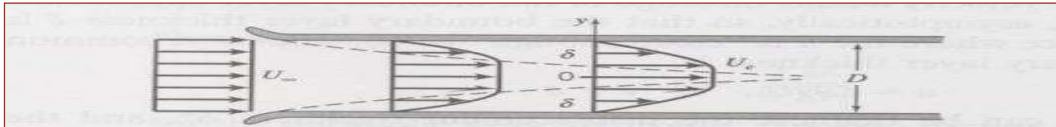
$$U_{\infty}D = \int_{-D/2}^{D/2} U_e dy - U_e \left\{ \int_{(-D/2)}^{(-D/2+\delta)} (1-u/U_e) dy + \int_{(D/2-\delta)}^{D/2} (1-u/U_e) dy \right\}$$

\downarrow \downarrow
 $- \{ \delta^* + \delta^* \}$

$$U_{\infty}D = U_e D - 2U_e \delta^* = U_e [D - 2\delta^*]$$

$$U_e(x) = U_{\infty}D / [D - 2\delta^*(x)]$$

49



from Continuity Equation

$$U_{\infty}D = U_e [D - 2\delta^*]$$

We see that the **free stream velocity** in the duct is given by the effective decrease in the cross sectional area due to the growth of the boundary layers, and this decrease in area is measured by the displacement thickness!!!

50

نیروی پسا (Drag)



جداش

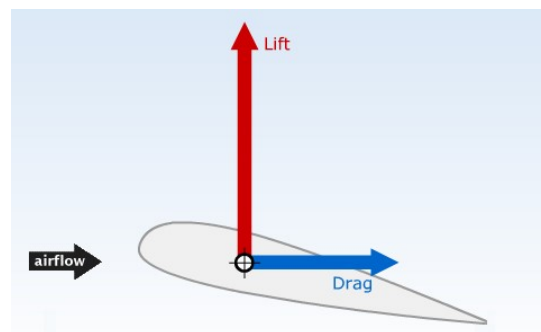
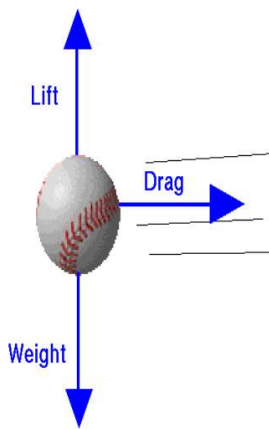
جريان از روی کره و استوانه

نیروی برآ (Lift)



نیروی درگ و نیروی لیفت

- هنگامی که یک جسم درون یک سیال قرار می‌گیرد، در صورتی که جسم، سیال (یا هر دو) سرعت داشته باشند از سوی سیال به جسم نیرویی وارد می‌شود.
- این نیروی دارای دو مولفه تنشی و فشاری است.
- برآیند این نیروی وارد شده بر جسم در جهت جریان را نیروی پسا (درگ) و برآیند نیرو عمود بر جهت جریان را نیروی برآ (لیفت) می‌نامند.



نیروی درگ

- نیروی درگ یک نیروی مقاوم در برابر حرکت جسم محسوب می شود. این نیرو باعث کند شدن حرکت جسم در سیال می شود (مانند مقاومت هوا).
- نیروی درگ تابعی از سرعت حرکت جسم در سیال، اندازه و شکل جسم و نوع سیالی است که جسم در آن حرکت می کند.

$$F_D = f_1(d, V, \mu, \rho)$$

▪ با اعمال آنالیز ابعادی:

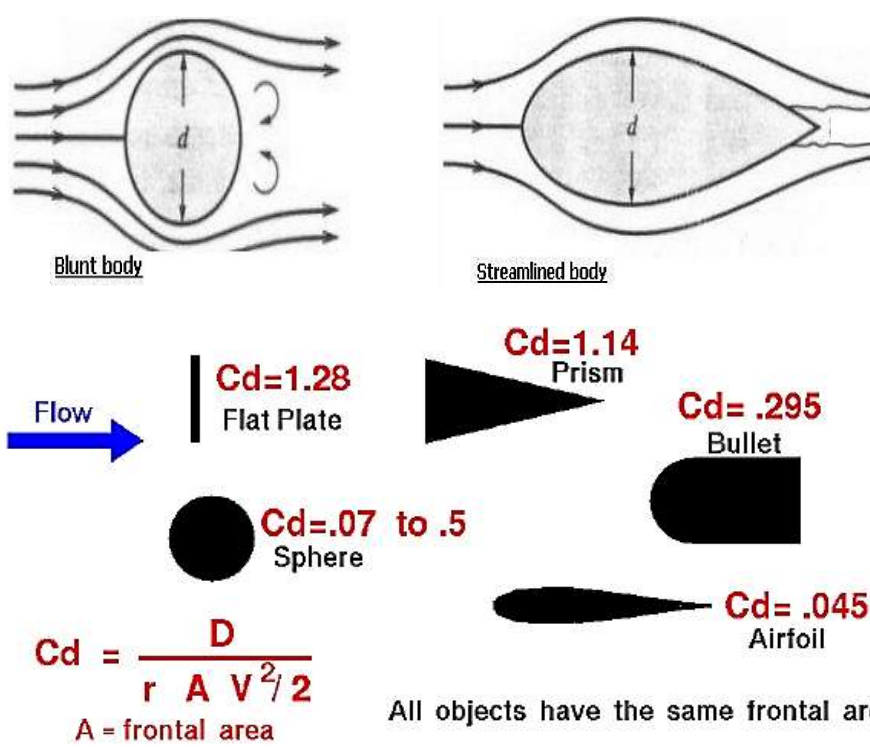
$$\frac{F_D}{\rho V^2 d^2} = f_2\left(\frac{\rho V d}{\mu}\right) \quad \frac{F_D}{\rho V^2 A} = f_3\left(\frac{\rho V d}{\mu}\right) = f_3(Re)$$

▪ ضریب درگ به شکل زیر تعریف می شود (برای سیال تراکم ناپذیر):

$$C_D \equiv \frac{F_D}{\frac{1}{2} \rho V^2 A}$$

53

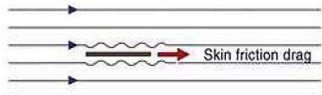
اهمیت شکل



54

نیروی درگ اصطکاکی (Friction Drag)

- این نیرو به دلیل تنش برروی سطح ایجاد شده و مقدار آن برای اجسام باریک اهمیت بیشتری دارد.



$$F_D = \int_{\text{plate surface}} \tau_w dA$$

$$C_D = \frac{F_D}{\frac{1}{2} \rho V^2 A} = \frac{\int_{\text{PS}} \tau_w dA}{\frac{1}{2} \rho V^2 A}$$

$$C_D = \frac{1.33}{\sqrt{Re_L}}$$

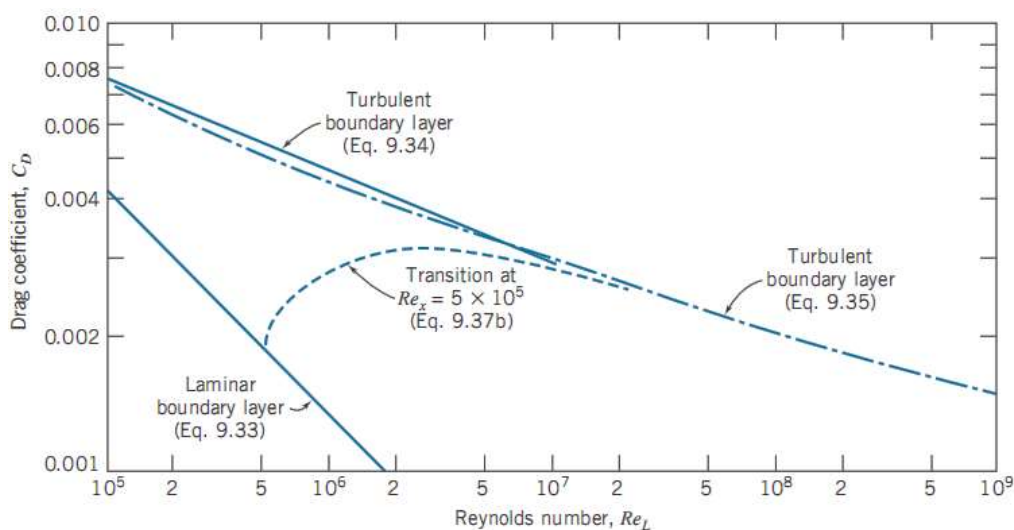
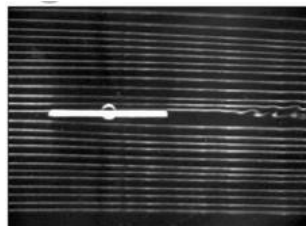
▪ برای جریان آرام برروی یک صفحه

$$C_D = \frac{0.0742}{Re_L^{1/5}}$$

و برای جریان درهم $(5*10^5 < Re < 10^7)$

55

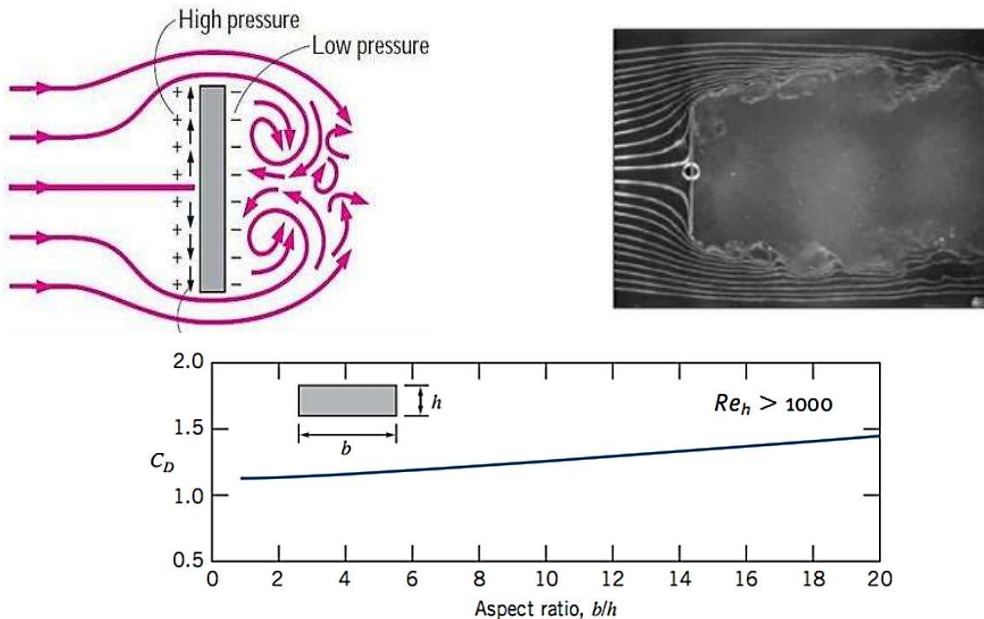
نیروی درگ اصطکاکی (Friction Drag)



56

نیروی درگ فشاری (Pressure Drag)

▪ این نیرو در حالتی ایجاد می‌گردد که به دلیل شکل جسم (کروی، استوانه‌ای، صفحه عمود بر جریان و ...)، سیال به موازات سطح جریان نداشته و جهت آن تغییر کند. در این حالت، علاوه بر درگ اصطکاکی، نیروی درگ فشاری هم وجود خواهد داشت.



57

نیروی درگ فشاری (Pressure Drag)

Drag Coefficient Data for Selected Objects ($Re \geq 10^3$)^a

Object	Diagram	$C_D (Re \geq 10^3)$
Square prism		$b/h = \infty$ $b/h = 1$ 2.05 1.05
Disk		1.17
Ring		1.20 ^b
Hemisphere (open end facing flow)		1.42
Hemisphere (open end facing downstream)		0.38
C-section (open side facing flow)		2.30
C-section (open side facing downstream)		1.20

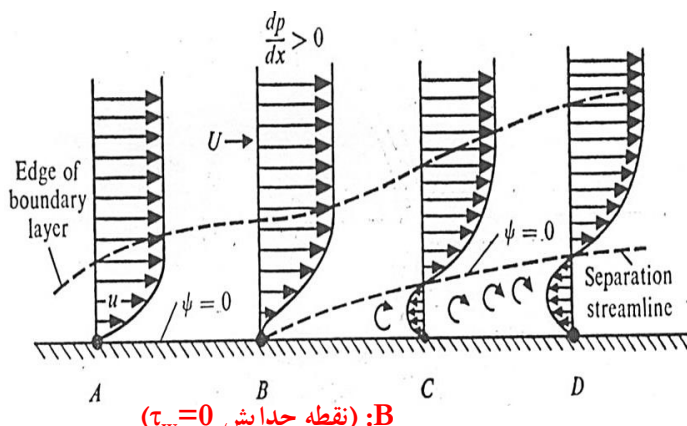
^aData from Hoerner [16].

^bBased on ring area.

58

جدايش

- در جريان هايي که تاکنون بررسی شد، گراديان فشار را صفر در نظر گرفته و فقط اثرات لزجت و اينرسی مهم بودند.
- در صورتی که فشار در جهت جريان کم شود ($\frac{dP}{dx} < 0$)، گراديان فشار مطلوب خواهد بود.
- در صورتی که فشار در جهت جريان افزایش پيدا کند ($\frac{dP}{dx} > 0$ يا گراديان فشار معکوس)، علاوه بر نيروي اصطکاک، نيروي فشاری هم در برآبر حرکت سیال مقاومت می کند.



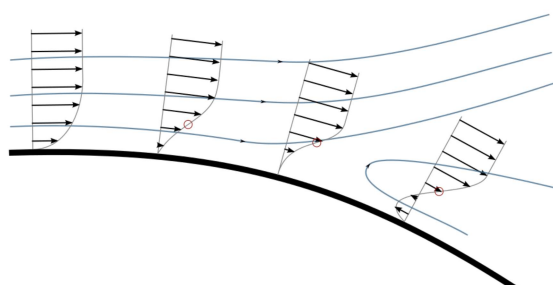
▪ در اين حالت، ممکن است سرعت سیال معکوس شده و لایه مرزی از مرز جدا شود.

به اين پديده، « **جدايش**» گفته می شود.

59

جدايش

- در اثر جدايش، نيروي درگ افزایش و نيروي ليفت کاهش می يابد.

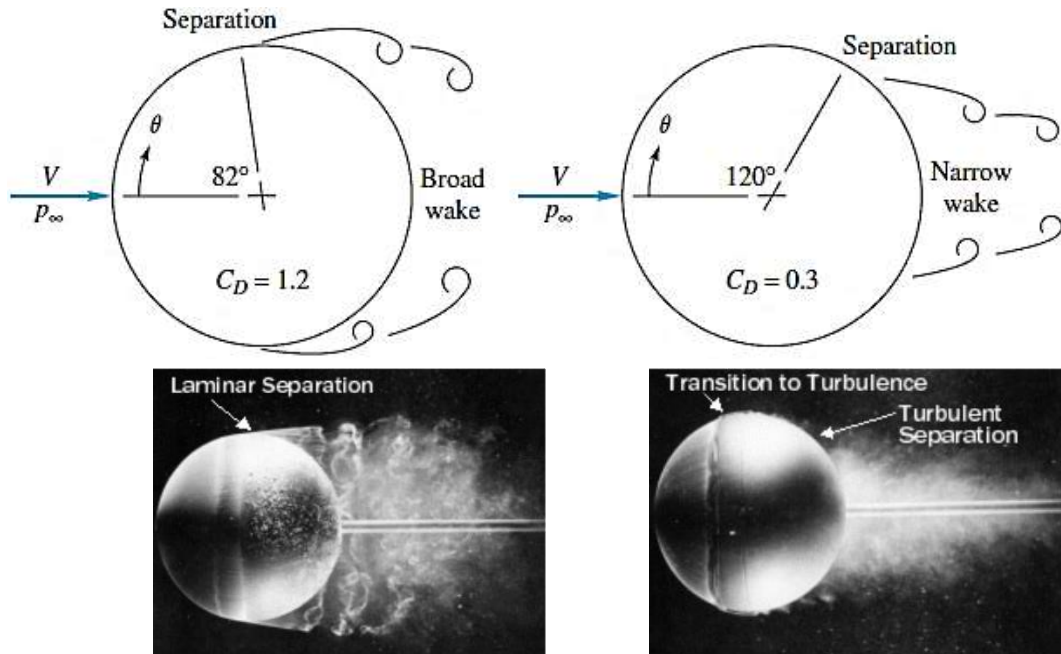


- جدايش جريان از سطح در شرایط هندسي و گراديان فشار يکسان، در جريان درهم ديرتر از جريان آرام اتفاق می افتد.
- وجود گراديان فشار مثبت ($\frac{dP}{dx} > 0$) شرط لازم برای جدايش است، اما شرط کافي نیست.
- تئوري لایه مرزی تنها تا نقطه جدايش معتبر بوده و پس از آن قابل استفاده نیست.

60

جريان خارجي بدروري يك كره

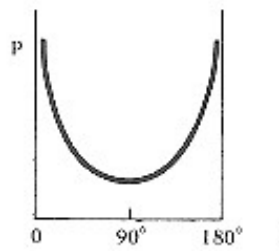
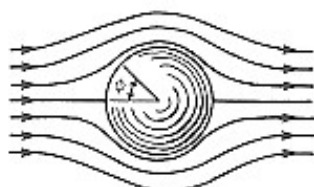
- در بخش قبل اشاره شد که به دليل شكل كره، نيروي درگ اصطکاكي و فشاري بر آن اعمال مي شود.



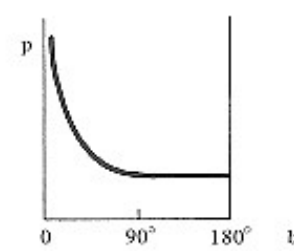
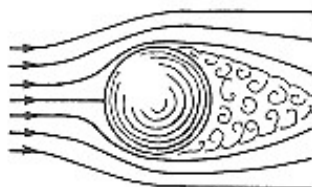
61

جريان خارجي بدروري يك كره

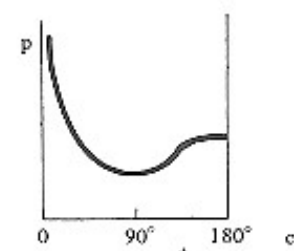
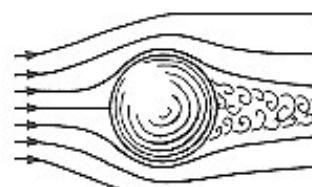
$Re=1$



Laminar



Turbulent

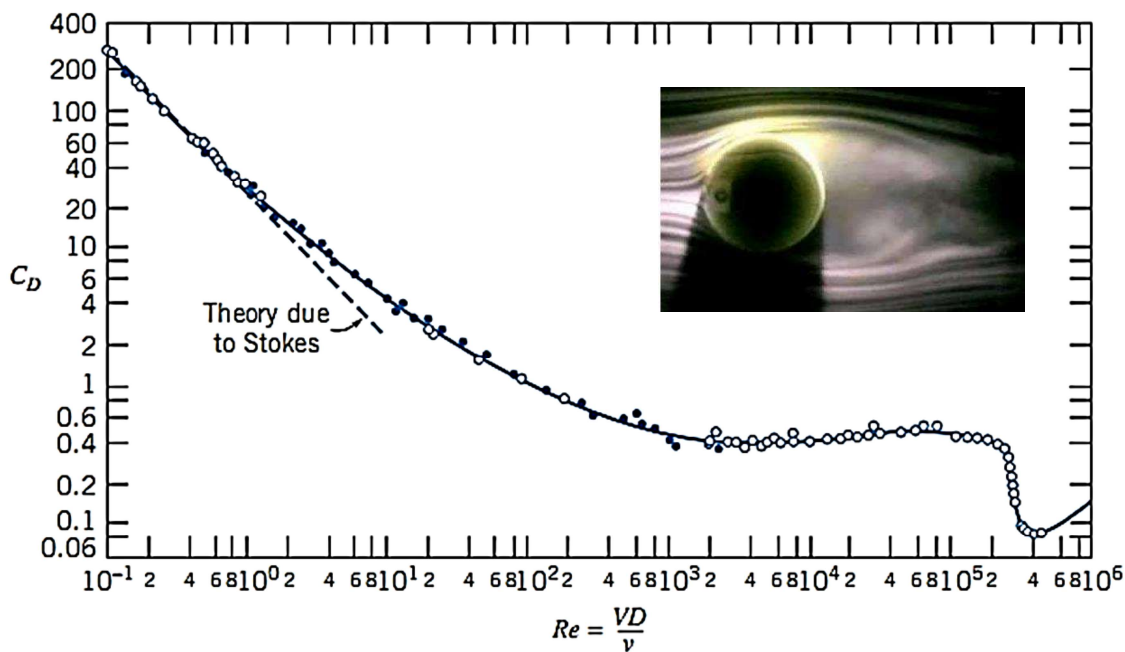


$$F_D = 3\pi\mu V d$$

$$C_D = \frac{24}{Re}$$

62

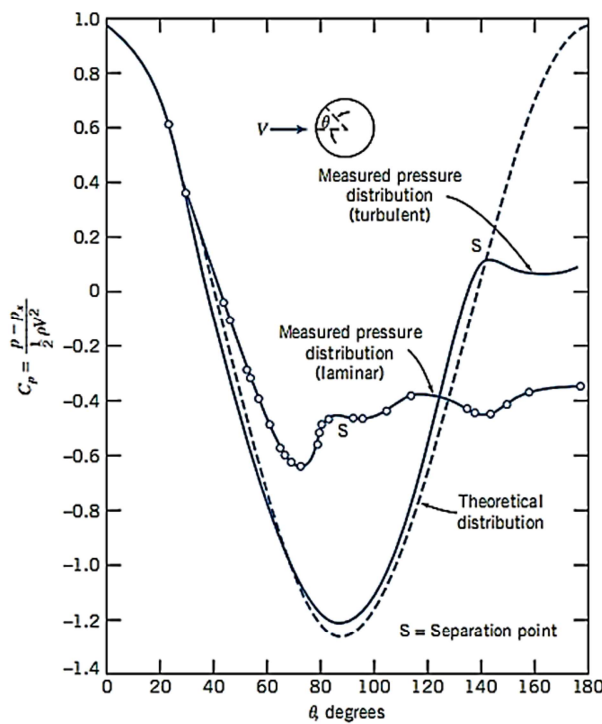
جريان خارجي بدروري يك كره



Drag coefficient of a smooth sphere as a function of Reynolds number

63

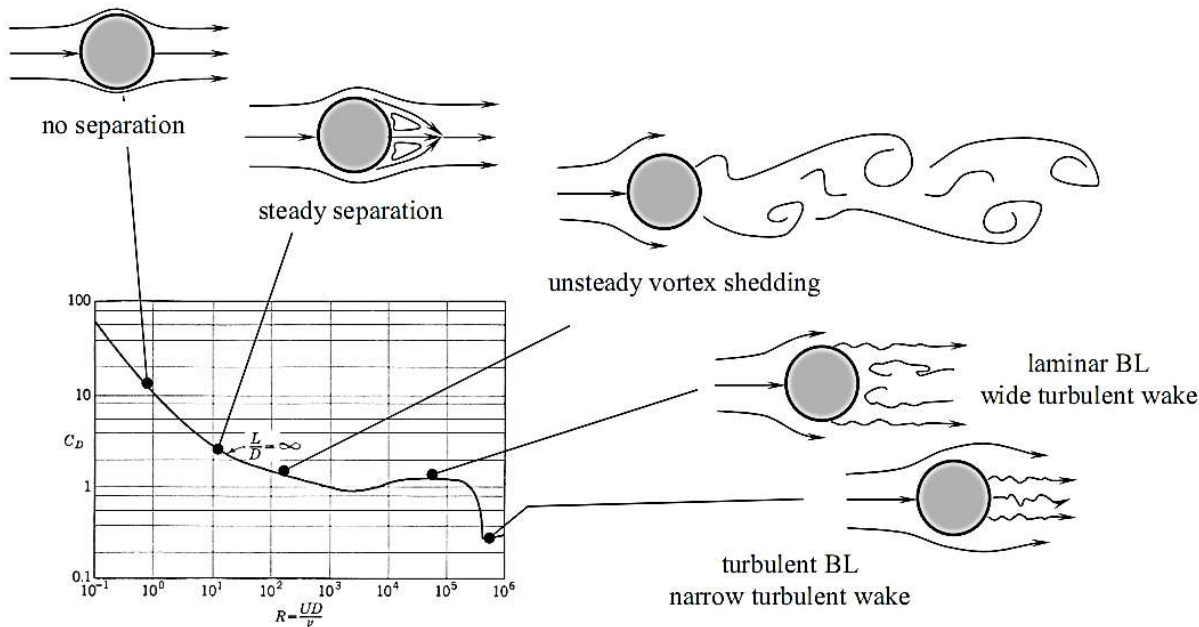
جريان خارجي بدروري يك كره (تغيرات مشار)



Pressure distribution around a smooth sphere for laminar and turbulent boundary-layer flow, compared with inviscid flow

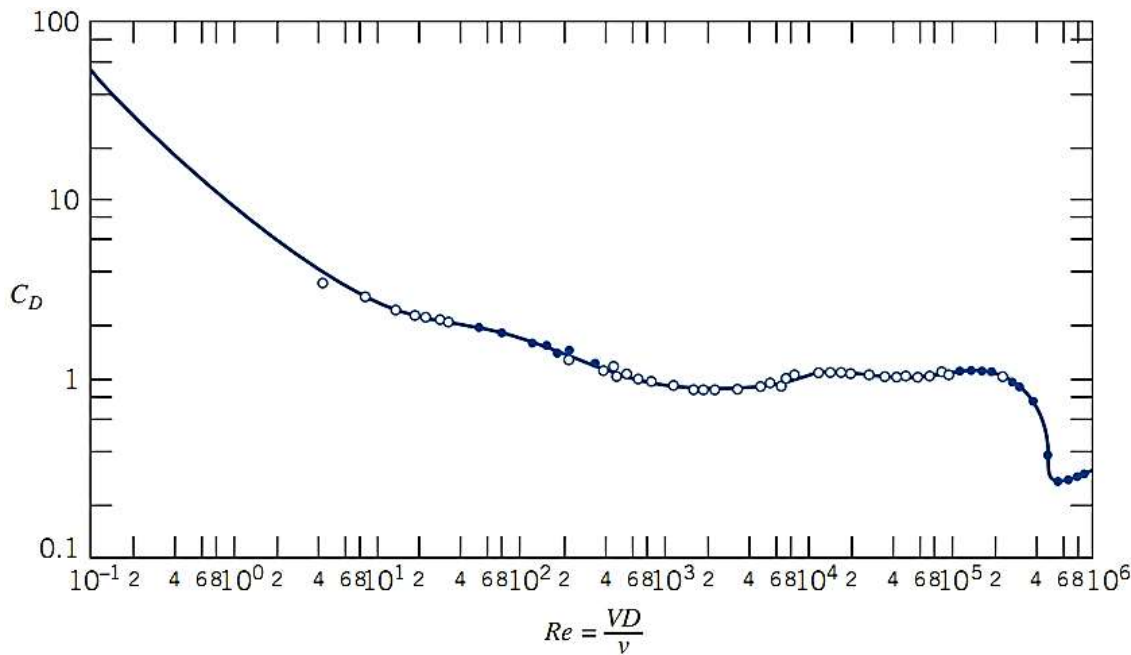
64

جريان خارجي بدروري يك استوانه



65

جريان خارجي بدروري يك استوانه

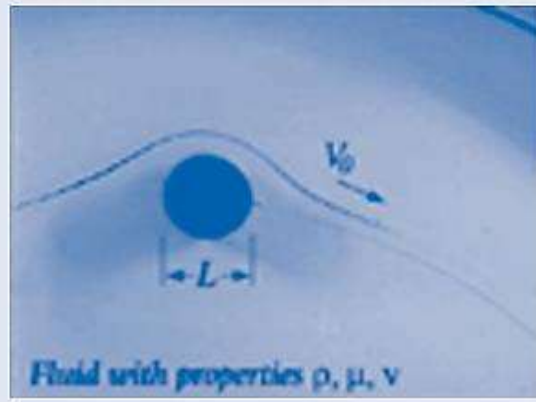


Drag coefficient for a smooth circular cylinder as a function of Re number

66

جريان خارجي بدروري يك استوانه

Low Reynolds Number Flow over a Cylinder.



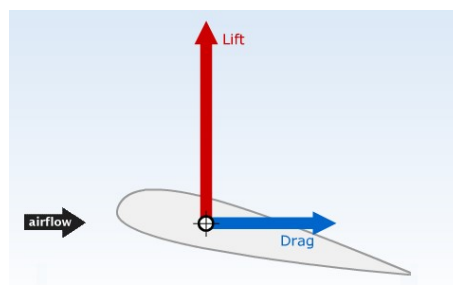
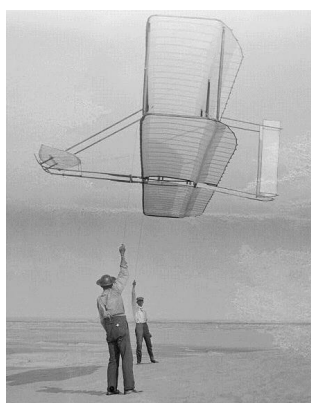
Flow Separation behind a Cylinder.



67

نيروي ليفت (Lift)

- قبلًاً اشاره شد که نيروي ليفت، مولفه نيروي برآيند عمود بر جهت جريان می باشد.

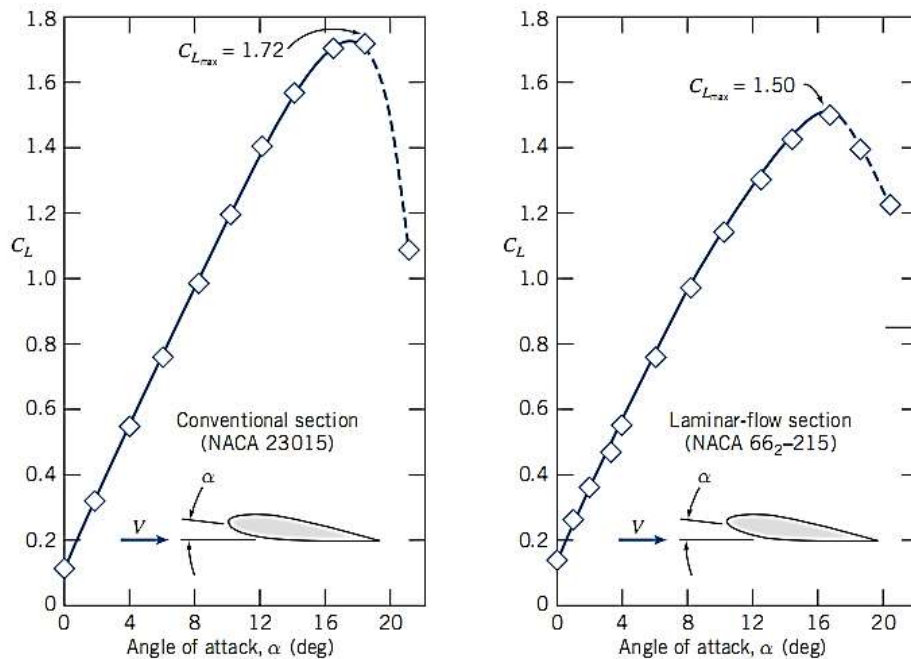


- برای نيروي ليفت، ضرريبي به شكل زير تعریف شده است:

$$C_L \equiv \frac{F_L}{\frac{1}{2} \rho V^2 A_p}$$

68

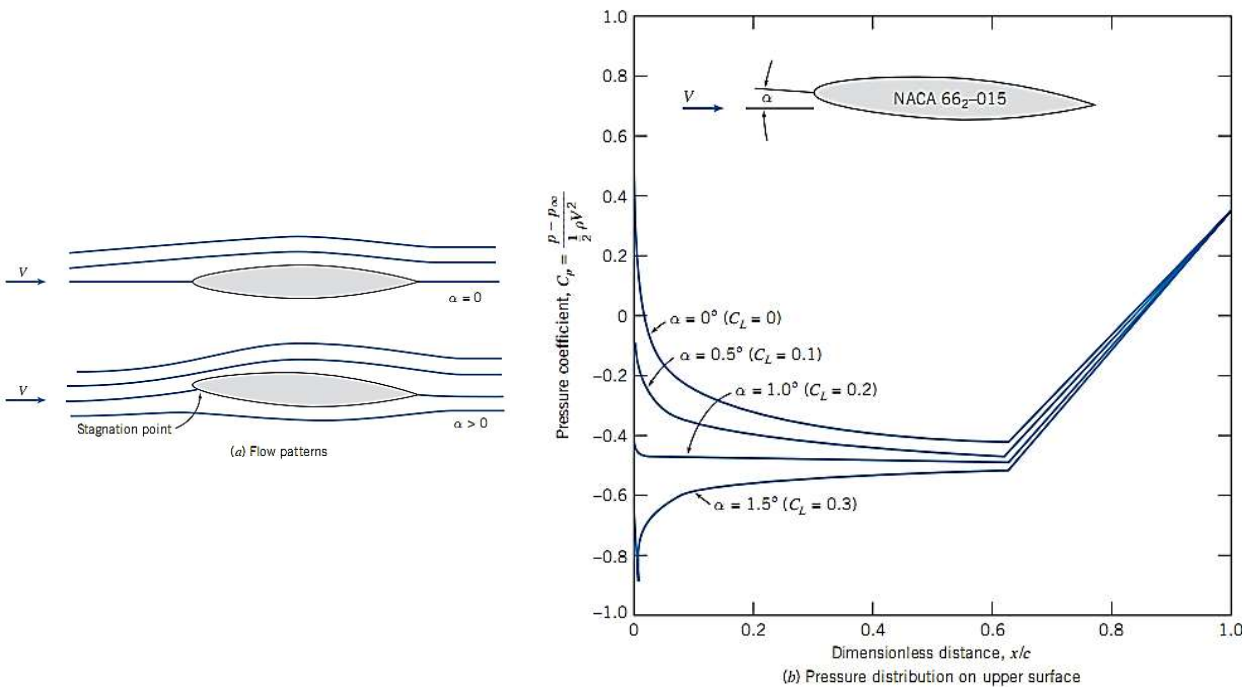
نیروی لیفت (Lift)



Lift coefficient vs. angle of attack

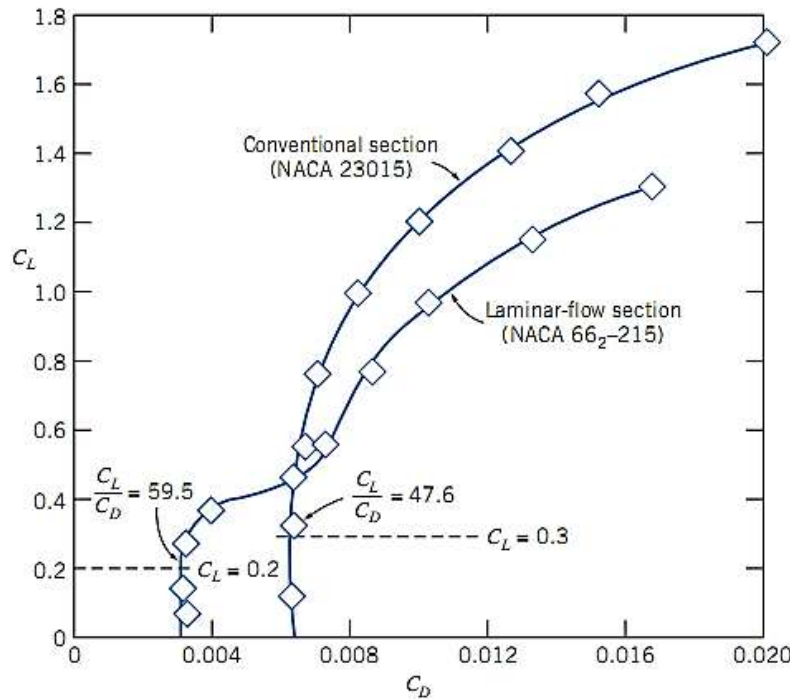
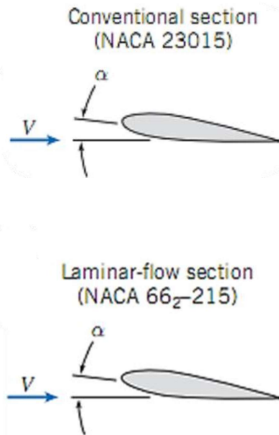
69

نیروی لیفت (Lift)



70

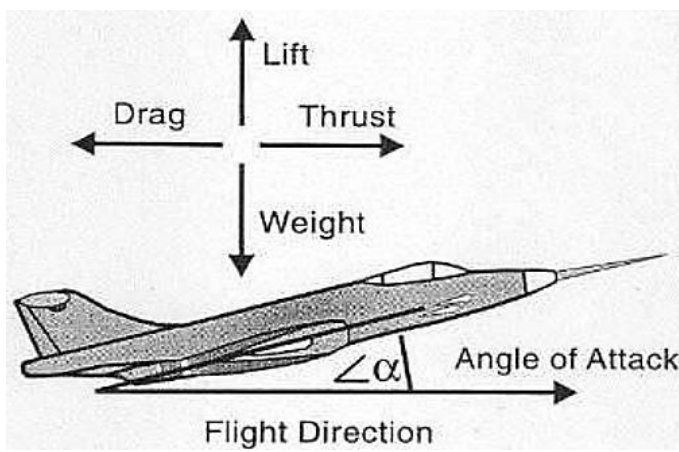
نسبت نیروی لیفت به نیروی درگ



71

هوایپیما چگونه پرواز می کند؟

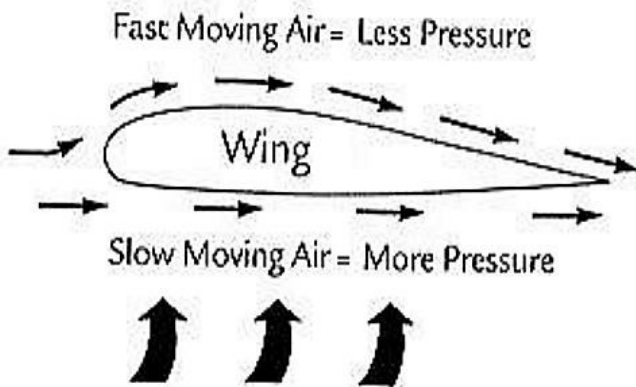
- بال های هوایپیما هم راستا با خطوط جریان قرار می گیرند. در نتیجه نیروی درگ تحمیل شده به بدنه هوایپیما به حداقل و نیروی لیفت به حداقل می رسد. این امر به غلبه بر نیروی وزن هوایپیما و بلند شدن هوایپیما از زمین کمک شایانی می کند.
- بال ها نسبت به افق زاویه ۵ تا ۱۵ درجه می گیرند که به این زاویه، زاویه حمله گفته می شود.



72

هوایپیما چگونه پرواز می کند؟

- در جریان های درهم، نیروی درگ فشاری نسبت به درگ اصطکاکی بیشتر بوده و در این حالت، با کاهش سطح پیشانی (Frontal surface area)، مقدار این نیرو افت می کند.
- هم چنین با این کار، احتمال بروز پدیده «جدايش» لایه مرزی از روی سطح کاهش یافته و درگ فشاری به حداقل می رسد.



73

مثال

- یک صفحه صاف با ابعاد $m \times 1/5 m \times 1/5 m$ در هوای ساکن با وزن مخصوص $1/15 kgf/m^3$ حرکت می کند. اگر ضرایب درگ و لیفت به ترتیب برابر با $1/15$ و $0/75$ باشند، مطلوبست تعیین نیروی لیفت، نیروی درگ و نیروی برآیند.

حل: مساحت صفحه برابر است با

$$Area\ of\ plate (A) =$$

سرعت صفحه بر حسب واحد SI:

$$\text{velocity of plate}(U) = 50 \text{ km/h} =$$

دانسیته هوا برابر است با

$$\rho = \frac{\gamma}{g}$$

با استفاده از ضریب درگ داریم

$$F_D = C_D A \rho \frac{U^2}{2}$$

74

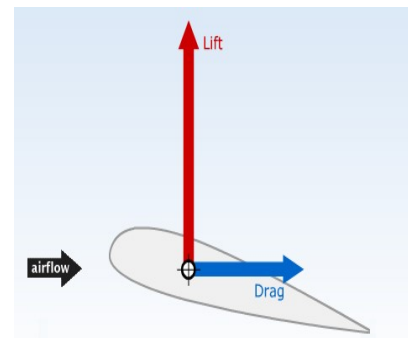
مثال

به همین صورت با استفاده از ضریب لیفت می توان نوشت

$$F_L = C_L A \rho \frac{U^2}{2}$$

برای تعیین برآیند نیرو نیز به شکل زیر عمل می کنیم:

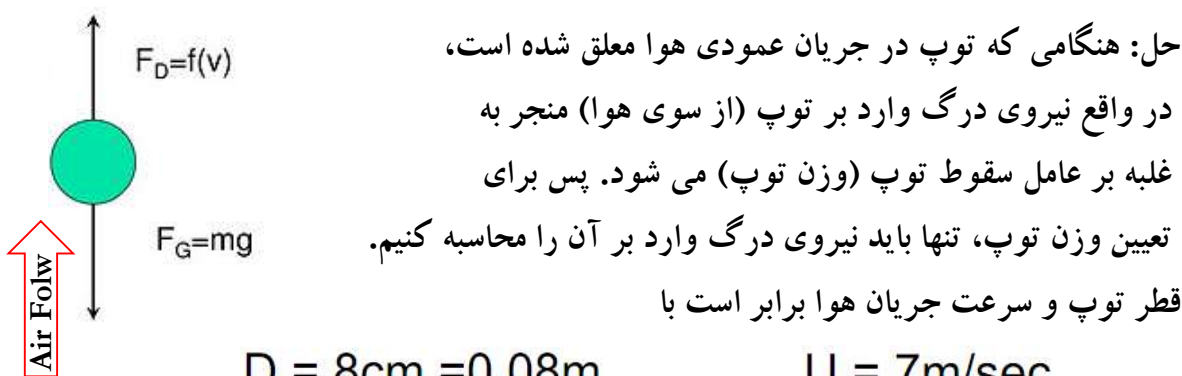
$$F_R =$$



75

مثال

▪ یک توپ با قطر 8 cm در یک جریان هوای عمودی که دارای سرعت 7 m/sec می باشد معلق شده است. وزن مخصوص هوای اندازه $1/25\text{ kgf/m}^3$ بوده و ویسکوزیته سینماتیک (η) آن نیز برابر با $1/5\text{ stokes}$ می باشد. وزن توپ را محاسبه نمایید.



برای تعیین دانسیته هوای هم به شکل زیر عمل می کنیم

$$\rho = \frac{\gamma}{g}$$

76

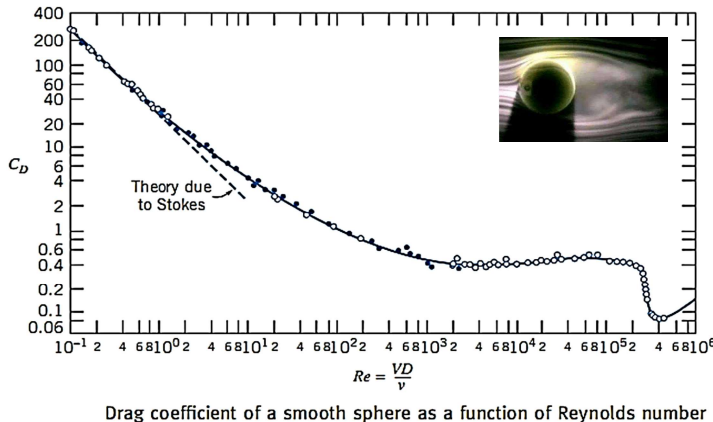
مثال

ویسکوزیته سینماتیک بر حسب واحد SI هم برابر است با

$$\vartheta = 1.5 \text{ stokes} = 1.5 \times 10^{-4} \text{ m}^2/\text{sec}$$

در نتیجه عدد Re برابر است با

$$Re = \frac{V D}{\nu}$$



در نتیجه

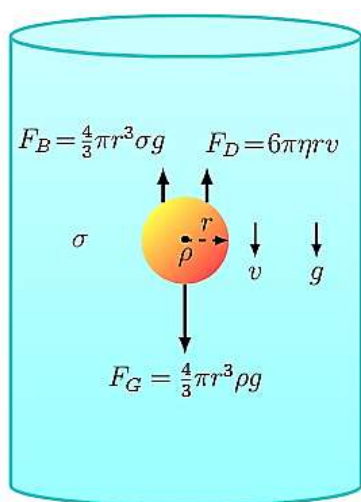
$$F_D = C_D \rho \frac{U^2}{2} A$$

77



سرعت حد

- جسمی را در نظر بگیرید که در یک سیال ساکن سقوط می کند. نیروهایی که به این جسم وارد می شوند عبارتند از نیروی درگ (F_D), نیروی شناوری (F_B) و نیروی وزن (F_G).



- سرعت حد (*Terminal Velocity*) برای جسم کروی برابر است با (در صورت برقرار بودن قانون استوکس $(Re < 1)$):

$$v_T = \frac{2r^2(\rho - \sigma)g}{9\eta}$$

سوال: در صورتی که $Re > 1$ نباشد، سرعت حد چگونه تعیین می شود؟

78

Any Question?

